

# О применении нескольких предикторов в методе ветвей и границ (на примере случайного варианта задачи коммивояжёра)

Б. Ф. Мельников, Ю. Ю. Терентьева

**Аннотация**—Для т.н. случайного варианта задачи коммивояжёра к настоящему времени неизвестно быстрых алгоритмов, в том числе эвристических, дающих оптимальное решение (или близкое к нему) – по крайней мере, для размерности задачи, превышающей 300. Это принципиально отличает случайный вариант от т.н. геометрического варианта этой же задачи, для которого уже не менее 25 лет известны т.н. алгоритмы луковой шелухи (опоясывающие алгоритмы), дающие близкое к оптимальному решение для практически любой размерности. При этом случайный вариант задачи коммивояжёра – как и более общий вариант, псевдогеометрический – часто представляет собой удачную модель для прикладных задач разных классов; это утверждение вряд ли можно отнести к геометрическому варианту, поэтому алгоритмы решения для случайного варианта продолжают оставаться актуальными.

Также актуальность рассматриваемого в статье варианта задачи следует из её возможной применимости при формулировке вариантов подсчёта оценки т.н. живучести сети связи – интегрального показателя, являющегося усреднённым показателем оценок живучести всех возможных направлений связи, определяемых парой вершин графа сети связи. Обычно разработчики сети связи стремятся к тому, чтобы все направления имели резервный маршрут; предполагается, что мы должны это проверить – а такую проверку можно произвести с использованием алгоритма поиска оптимального Гамильтонова цикла. Итак, необходимо уметь решать случайный вариант задачи коммивояжёра – и, прежде всего, описывать т.н. *aputime*-алгоритмы для его решения.

Для случайного варианта задачи (причём как для точных, так и для *aputime*-алгоритмов) актуален классический подход к её решению, связанный с применением метода ветвей и границ. Мы пользуемся обычным описанием этого метода – но с многочисленными изменениями и добавлениями, описанными нами в предыдущих публикациях, а также в настоящей статье. По-видимому, для построения удачных конкретных вариантов алгоритмов, реализующих этот метод, наиболее важным является вспомогательный алгоритм выбора разделяющего элемента (причём последнее утверждение относится не только к задаче коммивояжёра, но и к любой задаче, решаемой с помощью метода ветвей и границ). Вспомогательная процедура выбора разделяющего элемента называется предиктором.

В настоящей статье авторы предлагают вариант использования для выбора разделяющего элемента интегральной оценки, применяющей два простейших предиктора; при этом подобный вариант легко обобщается на случай большего числа предикторов. В статье кратко описываются полученные результаты, подтверждающие улучшение алгоритма метода ветвей и границ при применении двух рассматриваемых предикторов.

**Ключевые слова**—эвристические алгоритмы, метод ветвей и границ, задача коммивояжёра, вариант проблемы, случайный вариант, предикторы.

## I. ВВЕДЕНИЕ

Сама общая формулировка задачи коммивояжёра (ЗКВ), используемая в настоящей статье, согласована с [1], [2]. И, в отличие от нескольких предыдущих публикаций одного из авторов [3], [4], [5], [6], в которых рассматривалась т.н. псевдогеометрическая ЗКВ, – в настоящей работе рассматривается т.н. случайная ЗКВ. При этом ещё точнее было бы говорить о специальном варианте псевдогеометрической ЗКВ – что объясним далее во введении.

В примечании переводчика русского издания монографии [1] первый автор настоящей статьи привёл следующий комментарий – о применении в *хороших* изданиях на русском языке следующей терминологии, согласующейся с русским переводом классической монографии [7].

- «Вариант проблемы» определяется некоторым подмножеством всех возможных входов (аналог – знак включения множеств  $\subseteq$ ). Иногда применяемые в русской литературе альтернативные термины для этого понятия – причём фактически являющиеся кальками неудачных английских названий – а именно «подпроблема» и «подзадача», представляются значительно менее удачными: в литературе на русском языке они обычно употребляются в другом смысле. Более того, этот термин («вариант проблемы», *problem instance*) в некоторых монографиях определяется строго – но, однако, нередко употребляется и до его строгого определения, см. [1] и др.
- А «частный случай» проблемы – это один конкретный возможный вход (аналог – знак принадлежности  $\in$ ). При этом термин «экземпляр проблемы», по-видимому, тоже возможен (поскольку он не противоречит [7] – но менее удачен).

Добавим к сказанному в том примечании, что вся эта терминология относится к любой задаче дискретной оптимизации – а не только к ЗКВ.

Приведём содержание статьи по разделам. При этом сразу отметим, что существенную часть объёма статьи занимают различные варианты описаний результатов вычислительных экспериментов – но, по мнению авторов, без подобных описаний статья была бы «голословной».

Раздел II озаглавлен следующим образом: «Кратко о генерации исходных данных для рассматриваемых частных случаев задачи коммивояжёра». Конечно, подобные

Статья получена 26 ноября 2023 г.

Борис Феликсович Мельников, Университет МГУ–ППИ в Шэньчжэне (bormel@mail.ru).

Юлия Юрьевна Терентьева, Центр информационных технологий и систем органов исполнительной власти (terjul@mail.ru).

алгоритмы генерации частных случаев проблемы очень важны для статистического анализа алгоритмов обработки, обычно являющихся основным предметом большинства статей – но мы считаем, что подобным алгоритмам генерации уделяется гораздо меньше внимания, чем они того заслуживают. Некоторые подробности на эту тему авторы настоящей работы привели в [8].

В статье, как следует из её названия, мы для решения ЗКВ методом ветвей и границ (МВГ) для выбора каждого разделяющего элемента применяем более одного предиктора – подробнее об этом в разделе III, озаглавленном соответствующим образом: «Применение нескольких предикторов...»

Некоторые полученные результаты вычислительных экспериментов мы приводим не в конце статьи, как делается обычно, а в разделе IV. Такой не совсем обычный порядок изложения можно объяснить тем, что далее, для краткого описания использованных алгоритмов (раздел V), мы ориентируемся прежде всего на описание тех использованных подалгоритмов (вспомогательных алгоритмов), которые нужны именно для получения удачных результатов вычислений.

В заключении (раздел VI) мы приводим краткое описание несколько возможных вариантов продолжения рассматриваемой нами темы.

## II. КРАТКО О ГЕНЕРАЦИИ ИСХОДНЫХ ДАННЫХ ДЛЯ РАССМАТРИВАЕМЫХ ЧАСТНЫХ СЛУЧАЕВ ЗАДАЧИ КОММИВОЯЖЁРА

Далее приведём с небольшими изменениями несколько абзацев из статьи первого автора [9].

Случайный вариант ЗКВ<sup>1</sup> формируется путём применения равномерного распределения не к местоположению точек – а сразу к генерируемым элементам матрицы<sup>2</sup>. А основной алгоритм настоящей статьи, метод ветвей и границ, может быть применён, конечно, к любому частному случаю любого варианта ЗКВ – но часто очень удобно считать, что мы применяем его именно к случайному варианту ЗКВ.

Теперь рассмотрим *псевдогеометрический* вариант ЗКВ подробнее. Алгоритм генерации частных случаев задачи (как и ранее, совпадающий с её *определением*) для него заключается в следующем:

- 1) в качестве входных данных выбирается не только размерность матрицы, но и некоторое значение  $\sigma$ ;
- 2) обычным образом генерируется «предварительная» матрица для геометрического варианта ЗКВ с выбранной размерностью<sup>3</sup>; отметим по этому поводу, что в научной литературе – причём, по крайней мере, с начала 1990-х годов, – именно такой геометрический вариант ЗКВ рассматривается в подавля-

ющем большинстве публикаций, см. [10], [11], [12], [13] и мн. др.<sup>4</sup>

- 3) каждый элемент матрицы (или её верхнетреугольной части – при рассмотрении симметричного случая) умножается на случайную величину, выбираемую с нормальным распределением<sup>5</sup> с  $\mu = 1$  и выбранным значением  $\sigma$ ; при этом получающиеся с очень небольшой вероятностью отрицательные (либо неположительные) значения<sup>6</sup> – а также значения, соответствующие умножению на полученные случайные величины, большие (большие или равные) 2 – просто «не засчитываются» и пересчитываются; при этом возможен как симметричный случай (если заранее есть соответствующее условие), так и «несимметричный»;
- 4) возможно дополнительное требование – выполнение неравенства треугольника для всей полученной матрицы (либо не очень большая «степень нарушения» этого неравенства); в этом случае должны быть применены какие-то дополнительные алгоритмы генерации, которые мы подробно обсуждать не будем – но отметим, что они связаны с тем, что во введении статьи [8] было названо предварительным алгоритмом для «хорошего расположения» последовательности точек.

Итак, про любой частный случай ЗКВ можно сказать, что он *был* сгенерирован с помощью алгоритма для псевдогеометрического варианта ЗКВ (как и для случайного варианта ЗКВ, мы это уже отмечали выше) – но, в отличие от случайного варианта ЗКВ мы для псевдогеометрического варианта можем сказать следующее: при соответствующем выборе значения  $\sigma$  могут быть получены не только любые частные случаи, но и *различные варианты* ЗКВ:

- при  $\sigma = 0$  мы получаем геометрический вариант ЗКВ;
- наоборот, при  $\sigma = \infty$  (т. е. реально – при достаточно большом значении) мы получаем случайный вариант ЗКВ.

Немного более подробно про генерацию частных случаев задачи коммивояжера с разными значениями  $\sigma$  см. в [8].

Для уже сгенерированного частного случая ЗКВ часто бывает интересно решить обратную задачу – т. е. с помощью какого-либо из не связанных с генерацией входных данных алгоритма (см. [14, гл. 9, § 4] и мн. др.) определить, при каком именно конкретном значении  $\sigma$  некоторый заданный (рассматриваемый) частный случай ЗКВ мог быть сгенерирован с наибольшей вероятностью. Немного подробнее об этой обратной задаче см. в заключении.

Для многих наших предыдущих публикаций ([8], [15], [16], [17] и др.) представляет большой интерес такое

<sup>1</sup> Отметим, что его формулировка, как и для некоторых других вариантов ЗКВ, одновременно является и *алгоритмом генерации*.

<sup>2</sup> Вообще, про *любой* частный случай ЗКВ можно предполагать, что он был сгенерирован как случай случайного варианта ЗКВ. Более того, то же самое можно сказать и о псевдогеометрическом варианте ЗКВ.

<sup>3</sup> То есть такого варианта, в котором точки случайно бросаются в единичный квадрат (обе координаты при этом выбираются как случайные величины с *равномерным* законом распределения), а элемент матрицы коммивояжера в точности равен расстоянию между соответствующими точками.

<sup>4</sup> В процитированных здесь отдельной статье, а также в разных статьях монографии, применяются самые разные методы решения ЗКВ. Однако их объединяет то, что рассматривается, в первую очередь, геометрический вариант.

<sup>5</sup> Возможный способ генерации таких случайных величин может быть построен, например, на основе изложенного на следующем сайте: <https://habr.com/ru/post/263993/>. Однако при этом авторы не нашли в Интернете описания *существенно более простого* способа, возможного для небольших значений  $\sigma$ ; подробности такой генерации мы опубликуем в будущем.

<sup>6</sup> Конечно, такая приемлемая небольшая вероятность будет для малых значений  $\sigma$ .

возможное теоретическое приложение задачи коммивояжера – и, соответственно, её решения: приложение связано с оценкой живучести сети связи. Живучесть сети связи – это интегральный показатель, являющийся усреднённым показателем оценок живучести всех возможных направлений связи, определяемых парой вершин графа сети связи, см. [18], [19], [20] и др. Основополагающим фактором в обеспечении живучести направления связи является наличие географически разнесённых маршрутов, т. е. маршрутов, представленных вершинно-независимыми путями. Как правило, при проектировании и/или модернизации сети связи разработчики стремятся к тому, чтобы *все направления связи имели резервный маршрут*. В нашем случае мы предполагаем, что мы должны это проверить, – а такую проверку можно произвести с использованием алгоритма поиска оптимального Гамильтонова цикла.

Сразу отметим, что эта процедура в случае нахождения оптимального Гамильтонова цикла даёт достаточное условие того, что все направления связи сети связи имеют резервный маршрут. При этом доказательство достаточности очевидно, а строгое доказательство необходимости представляется интересным предметом дальнейшего исследования.

Говоря при этом о генерации данных для проверки предлагаемых алгоритмов нужно отметить следующий факт. Достаточно очевидно, что применительно к разработке и/или проверке живучести имеющейся сети связи мы рассматриваем не геометрический вариант ЗКВ – а какой-то более сложный. Поэтому и генерация данных для проверки использования некоторых конкретных алгоритмов, связанных с сетями связи, должна быть более сложной, чем та, которая даёт простой геометрический вариант ЗКВ. В настоящее время мы ещё не исследовали адекватность модели, связанной с использованием для генерации исходных данных псевдогеометрической версии некоторого конкретного значения  $\sigma$  – поэтому пока мы рассматриваем другой упрощённый вариант псевдогеометрической ЗКВ – а именно, случайный её вариант.

Итак, процедура решения задачи коммивояжера может служить оценочной процедурой-индикатором для определения важнейших технических параметров сети связи. Учитывая квадратичную функцию количества направлений связи от вершин графа, представляющего собой такую сеть связи, а также предполагая большую размерность этого графа, можно сказать, что удачный эвристический алгоритм поиска оптимального Гамильтонова цикла в случае положительного его (алгоритма) завершения может конкурировать с традиционным подходом – заключающемся в последовательной обработке направлений связи с целью получения параметров живучести.

Специально отметим, что мы, как и во многих предыдущих работах, имеем в виду два варианта применения метода ветвей и границ:

- во-первых – для алгоритмов, предназначенных для получения точного решения задачи;
- и, во-вторых, для т. н. anytime-алгоритмов.

Согласно одной из возможных классификаций, anytime-алгоритмы – это специальный класс алгоритмов реального времени, которые в каждый определённый момент работы хранят лучшее (на данный момент) решение; при

этом пользователь (или какая-то управляющая программа) может в режиме реального времени просматривать эти псевдооптимальные решения, а последовательность таких решений в пределе обычно даёт оптимальное решение. На практике такие алгоритмы нужны, например, в связи с тем, что мы запускаем программу для нашего алгоритма много раз, а окончательное решение принимает человек («эксперт»). Важно, что такой подход хорошо согласуется с одним из определений экспертной системы – как «предикативной системы, включающей в себя знания об определённой слабо структурированной и трудно формализуемой узкой предметной области и способной предлагать и объяснять пользователю разумные решения» ([21]); в нашем случае подобным псевдооптимальным решением является некоторый конкретный тур коммивояжера, и человек-эксперт принимает решение, является ли этот тур приемлемым.

Немного подробнее про конкретные модификации стандартного варианта метода ветвей и границ, связанные с его оформлением как anytime-алгоритма, см. в конце следующего раздела.

### III. ПРИМЕНЕНИЕ НЕСКОЛЬКИХ ПРЕДИКТОРОВ В МЕТОДЕ ВЕТВЕЙ И ГРАНИЦ

Слово «предиктор» применялось во многих наших предыдущих статьях (к приведённым выше ссылкам на работы авторов стоит добавить [22], [23], результаты которых будут обсуждаться и ниже). Этот термин обычно обозначает специальный (под) алгоритм для выбора разделяющего элемента на каждом шаге метода ветвей и границ.

По поводу последнего понятия (предиктора) приведём первое (из трёх) «критическое замечание» к известной монографии [24]<sup>7</sup>. Цитата оттуда (стр.95) такова: «В качестве перехода, используемого для разветвления, выбирается тот, у которого значение  $\theta_{ij}$  максимально»; да, это в точности согласно классике (см. [25], а также ещё более ранние публикации), такой выбор возможен, он совсем неплохой – однако не сказано о том, что подобный вспомогательный алгоритм не является единственно возможным. Более того, по мнению авторов настоящей статьи, именно описание подобных алгоритмов является *определяющим фактором, влияющим на качество всего конкретного варианта метода ветвей и границ*<sup>8</sup>.

Однако в вычислительных экспериментах, проведённых для настоящей статьи, мы реально применяли не «несколько», а *ровно два* предиктора; но всё-таки использованное нами название статьи вовсе не является «преувеличением» – и это можно объяснить следующими двумя обстоятельствами.

- Во-первых, всюду в ранее вышедших ранее монографиях [24], [25], а также в известных авторам статьях, предиктор был только один. Отметим по этому поводу, что возможность использования нескольких

<sup>7</sup> Про остальные два «критических замечания» см. далее. Отметим, что подобных «замечаний» можно привести ещё несколько.

<sup>8</sup> Понятие «качество» для разных вариантов МВГ мы здесь конкретизировать не будем, различные соответствующие его критерии были не раз использованы во многих наших предыдущих публикациях. Очень кратко скажем, что во-первых, могут быть как абсолютные критерии (разные варианты отличия найденного решения от оптимального), так и временные; и, во-вторых, возможны разные варианты усреднения получаемых значений.

предикторов следует из теории, изложенной в [2]; однако ни явного указания на такую возможность, ни соответствующих примеров в указанной монографии не приводится<sup>9</sup>.

- Во-вторых, мы действительно описываем возможность применения нескольких предикторов – что делается совершенно таким же способом. Отметим ещё, что впервые об этом было сказано у одного из авторов настоящей статьи ещё в 2005 г. – см. [26], [27].

К монографии [24] приведём второе «критическое замечание». Согласно другой цитате оттуда (стр. 95),

«Если после применения процедуры приведения в каждой строке и в каждом столбце есть ровно один нуль, то мы решили задачу о назначении. Величина целевой функции равна  $d_0$ , а нули указывают назначения. Если нули образуют единственный цикл, то мы решили задачу о коммивояжере, и длина кратчайшего маршрута равна  $d_0$ ».

Авторы настоящей статьи, однако, не видят большой связи между задачей о назначении и ЗКВ (несмотря на некоторую схожесть их формулировок): алгоритмы для решения первой из них довольно просты. Более того, реально ситуация «нули образуют единственный цикл» бывает с весьма малой вероятностью<sup>10</sup>.

Также по связанному поводу стоит отметить, что рассматриваемые в [24] т.н. 1-деревья *не представляют собой альтернативу* построению т.н. последовательности правых (под)задач, рассматриваемой в нескольких наших предыдущих публикациях ([9], [28] и др.). Более того, они (1-деревья) применяются только для симметричного варианта ЗКВ, но при этом, вообще говоря, не для геометрического её варианта – а авторы настоящей статьи не видят для такого варианта ЗКВ приемлемых математических моделей (т.е. моделей, применяющихся в реальных задачах).

Теперь вернёмся к очень краткому описанию полученных нами результатов вычислительных экспериментов (более подробно – в следующем разделе). Также в наших предыдущих работах ([22], [23] и др.) исследовалась только сама возможность применения нескольких предикторов, были выполнены соответствующие компьютерные программы – однако *реальных* результатов, которые улучшали бы работу с одним предиктором, получено не было. Также в двух связанных публикациях [29], [30]<sup>11</sup> было показано, что для окончательного выбора разделяющего элемента возможно применение т.н. функций риска – вместо других алгоритмов многокритериальной оптимизации ([31], [32] и др.), алгоритмов существенно более сложных, и при том далеко не всегда дающих приемлемый практический выигрыш.

<sup>9</sup> По крайней мере, мы там таких примеров не нашли.

<sup>10</sup> Несложно показать, что для матриц коммивояжёра размерности  $N$  такая вероятность для случайной ЗКВ примерно равна  $\frac{1}{N^2}$ , также несложно получить примерно такое значение статистически. Подобная вероятность в реальных условиях (скажем, при  $N > 50$ ) приводит к тому, что программе не надо тратить время на проверку, «образуют ли нули единственный цикл», – а надо продолжать выполнение обычных шагов метода ветвей и границ.

<sup>11</sup> Относящихся к несколько иной предметной области – но это принципиально.

Итак, в отличие от предыдущих работ, в которых *только исследовалось* применение нескольких предикторов, в настоящей работе получены конкретные улучшения алгоритма МВГ. А именно, мы получили *уменьшение* количества первоначально сгенерированных вариантов проблемы (вариантов ЗКВ), в которых после применения достаточно большого числа итераций МВГ получается решение, которое ещё может быть улучшено (улучшено применением новых итераций). Это уменьшение проводится путём сравнения двух вариантов выполнения алгоритма:

- обычного варианта – с одним предиктором, вариант близок к [25];
- и варианта с двумя предикторами – вторым является размерность рассматриваемой подзадачи.

Однако мы должны оговориться, что предметом статьи является *самый простой вариант* употребления *двух* предикторов. Они используются не для собственно выбора разделяющего элемента (что можно было бы назвать «априорным» алгоритмом) – а для «апостериорного» размещения двух полученных подзадач в массиве подзадач; это, по-видимому, существенно проще.

Как мы отмечали ранее, с материалом этого раздела связаны понятия, относящиеся к anytime-алгоритмам; по этому поводу приведём с сокращениями два абзаца и рисунок из статьи первого автора [9]. Итак, возможная *причина* практического применения anytime-алгоритмов такова – она, кстати, выполняется для почти любой труднорешаемой задачи. Пусть мы оцениваем время выполнения всей задачи в 3 месяца – а заказчику (начальнику, пользователю) хочется получить *хоть какое-то* допустимое решение (конечно, желательно, чтобы оно было более-менее близко к оптимальному) гораздо скорее: скажем, после 1 часа работы программы. Если же полное время выполнения всей задачи существенно больше 1 часа, то какие-то близкие к оптимальным решения начинают получаться «почти» за 3 месяца, скажем, за 2 месяца 28 дней<sup>12</sup>. Что же делать? Вот для этого и используют дополнительные эвристики, дающие получение пусть даже «более далёкого» решения (чем если бы работал обычный МВГ) – зато очень быстро. Одной из таких эвристик и является использование последовательности правых задач (ППЗ).

Эта эвристика (см. её иллюстрацию на рис. 1) заключается в следующем. Каждый раз при выборе очередного разделяющего элемента в некоторой задаче (пусть это  $T$ ; можно сказать – при получении очередной правой задачи) мы при её применении фактически строим такую последовательность:

- саму задачу  $T$ ,
- правую (под)задачу задачи  $T$ ,
- правую задачу правой задачи задачи  $T$ ,
- и так далее.

Естественно, каждый раз строятся (и включаются в список задач для потенциального решения в последующем) и соответствующие левые задачи:

<sup>12</sup> Это реальные оценки. Действительно, в классическом описании МВГ первыми выполняются подзадачи, имеющие меньшие значения границ, – и вследствие этого, как правило, большие размерности. При этом задачи с меньшими размерностями «отодвигаются в конец» – что и приводит к подобному сроку получения самых первых результатов.

- левая задача задачи T,
- левая задача правой задачи задачи T,
- и так далее.

Описанный процесс заканчивается:

- либо при получении тривиальной задачи (например, задачи нулевой размерности): в этом случае мы запоминаем её решение (границу, получаемый к моменту её постановки тур, и другие *характеристики*) в качестве *текущего на данный момент времени псевдо-оптимального решения* нашего anytime-алгоритма;
- либо при получении в какой-либо задаче достаточно большой границы – например, большей, чем имеющееся на данный момент времени псевдо-оптимальное решение<sup>13</sup>.

Отметим, что на практике описанный процесс построения ППЗ *не занимает много лишнего времени* и, кроме того, *не приводит к большому увеличению списка задач*, предназначенных для потенциального решения в будущем.

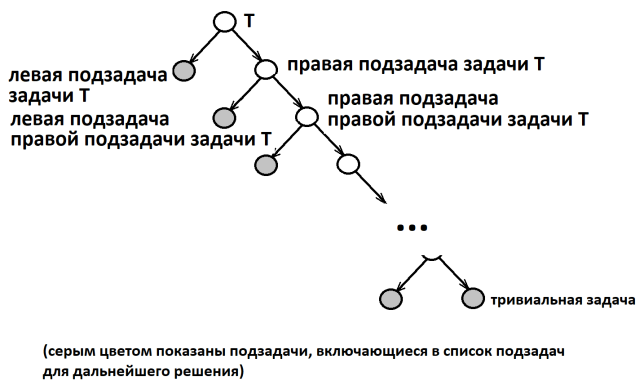


Рис. 1. Последовательность правых задач.

Итак, построение последовательности правых задач в процессе ветвления на шаге метода ветвей и границ можно назвать конкретной модификацией стандартного варианта этого метода.

Теперь приведём третье «критическое замечание». к монографии [24]. В ней на рис. 3.9 и 3.10 (стр. 95 и 97) приведены структуры вычисления (ветвления МВГ), можно сказать – «абстрактное» и «конкретное» ветвления; может показаться, что они аналогичны нашему рис. 1. Однако оба варианта описывают процесс ветвления неудачно, поскольку для этого ветвления на обоих рисунках каждый раз выбирается правая подзадача; конечно, такие варианты ветвления возможны – но «не очень информативны». А «более информативен» [24, рис. 3.11] (стр. 100) – но, по-видимому, его тоже нельзя считать хорошей иллюстрацией к исполнению алгоритма МВГ: во-первых, в том примере элементы матрицы – очень малые величины, и, во-вторых, оптимум получается как фактический конец ППЗ (что не очень интересно).

В этом смысле гораздо более интересными являются широко известные примеры, в которых сколь угодно

<sup>13</sup> В этом вопросе не всё так очевидно. Иногда процесс построения ППЗ может быть прерван ранее – для получения оптимального решения некоторой промежуточной задачи, например, методом перебора (при небольшой размерности задачи) или каким-либо иным методом. Этот вопрос связан с подробными исследованиями МВГ.

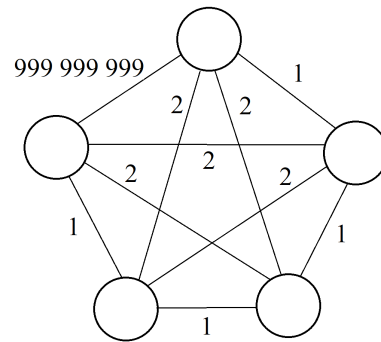


Рис. 2. Широко известный пример, для которого жадный алгоритм даёт ответ, далёкий от оптимума.

далёкими от оптимумов получаются решения, найденные без применения МВГ, а только с помощью жадных алгоритмов, т. е. фактически с помощью построения одной лишь ППЗ – однако такие примеры всё-таки надо назвать тривиальными (см. пример на рис. 2 и т.п.). По этому поводу см. следующий раздел настоящей статьи.

#### IV. НЕКОТОРЫЕ РЕЗУЛЬТАТЫ ВЫЧИСЛИТЕЛЬНЫХ ЭКСПЕРИМЕНТОВ

В первую очередь уточним, что матрицы для вычислительных экспериментов генерировались следующим образом: для каждого элемента матрицы выбиралась новая случайная величина – и эти случайные величины были независимы и равномерно распределены от 1 до 999. (Это небольшое описание генерации данных можно считать следствием материала раздела II – однако, по-видимому, сделанное уточнение полезно для дальнейшего изложения.)

Также сразу поясним, почему мы приводим результаты вычислительных экспериментов не в конце статьи, как это делается обычно, а в настоящем разделе. Как мы уже отмечали во введении, такой не совсем обычный порядок изложения можно объяснить тем, что далее, при кратком описании используемых алгоритмов (раздел V), мы ориентируемся прежде всего на описание тех применяемых подалгоритмов (вспомогательных алгоритмов), которые нужны именно для получения удачных результатов вычислений.

В связи с этим мы в первую очередь приведём интересный вариант матрицы ЗКВ размерности  $99 \times 99$  (см. 9 квадратов матрицы в таблицах I–IX)<sup>14</sup> – об этом примере было кратко сказано в конце предыдущего раздела. Эта матрица – в качестве исходной для МВГ – интересна тем, что:

- после примерно 2% времени работы, необходимого для полного выполнения стандартного варианта метода ветвей и границ, мы получаем близкое к оптимальному решение 1681; решение приведено в таблице X<sup>15</sup>;

<sup>14</sup> Для проверки полученных нами результатов вычислений такой «большой» объём исходных данных (4.5 страницы текста) проблем вызывать не должен: из pdf-файла матрица копируется – например, в электронную таблицу csv-формата – с помощью обычных «копирастинга» и контекстной замены.

<sup>15</sup> Организация этой и следующей таблиц такова. В клетке, соответствующей числу N (оно изменяется от 1 до 99), записан номер города, куда в рассматриваемом туре осуществляется переезд из города с номером N.

Таблица I  
Верхне-левый квадрат таблицы исходных данных: строки от 1 до 33, столбцы от 1 до 33.

|    |     |     |     |     |     |     |     |     |     |     |     |     |     |     |     |     |     |     |     |     |     |     |     |     |     |     |     |     |     |     |     |     |     |
|----|-----|-----|-----|-----|-----|-----|-----|-----|-----|-----|-----|-----|-----|-----|-----|-----|-----|-----|-----|-----|-----|-----|-----|-----|-----|-----|-----|-----|-----|-----|-----|-----|-----|
|    | 1   | 2   | 3   | 4   | 5   | 6   | 7   | 8   | 9   | 10  | 11  | 12  | 13  | 14  | 15  | 16  | 17  | 18  | 19  | 20  | 21  | 22  | 23  | 24  | 25  | 26  | 27  | 28  | 29  | 30  | 31  | 32  | 33  |
| 1  | ### | 41  | 467 | 334 | 500 | 169 | 724 | 478 | 358 | 962 | 464 | 705 | 145 | 281 | 827 | 961 | 491 | 995 | 942 | 827 | 436 | 391 | 604 | 902 | 153 | 292 | 382 | 421 | 716 | 718 | 895 | 447 | 726 |
| 2  | 929 | ### | 541 | 833 | 115 | 639 | 658 | 704 | 930 | 977 | 306 | 673 | 386 | 21  | 745 | 924 | 72  | 270 | 829 | 777 | 573 | 97  | 512 | 986 | 290 | 161 | 636 | 355 | 767 | 655 | 574 | 31  | 52  |
| 3  | 310 | 617 | ### | 813 | 514 | 309 | 616 | 935 | 451 | 600 | 249 | 519 | 556 | 798 | 303 | 224 | 8   | 844 | 609 | 989 | 702 | 195 | 485 | 93  | 343 | 523 | 587 | 314 | 503 | 448 | 200 | 458 | 618 |
| 4  | 832 | 932 | 169 | ### | 154 | 721 | 189 | 976 | 329 | 368 | 692 | 425 | 555 | 434 | 549 | 441 | 512 | 145 | 60  | 718 | 753 | 139 | 423 | 279 | 996 | 687 | 529 | 549 | 437 | 866 | 949 | 193 | 195 |
| 5  | 372 | 159 | 833 | 70  | ### | 487 | 297 | 518 | 177 | 773 | 270 | 763 | 668 | 192 | 985 | 102 | 480 | 213 | 627 | 802 | 99  | 527 | 625 | 543 | 924 | 23  | 972 | 61  | 181 | 3   | 432 | 505 | 593 |
| 6  | 423 | 520 | 902 | 962 | 123 | ### | 596 | 737 | 261 | 195 | 525 | 264 | 260 | 202 | 116 | 30  | 326 | 11  | 771 | 411 | 547 | 153 | 520 | 790 | 924 | 188 | 763 | 940 | 851 | 662 | 829 | 900 | 713 |
| 7  | 532 | 963 | 607 | 483 | 911 | 635 | ### | 67  | 848 | 675 | 938 | 223 | 142 | 754 | 511 | 741 | 175 | 459 | 825 | 221 | 870 | 626 | 934 | 205 | 783 | 850 | 398 | 279 | 701 | 193 | 734 | 637 | 534 |
| 8  | 129 | 240 | 813 | 174 | 601 | 77  | 215 | ### | 683 | 213 | 992 | 824 | 601 | 392 | 759 | 670 | 428 | 27  | 84  | 75  | 786 | 498 | 970 | 287 | 847 | 604 | 503 | 221 | 663 | 706 | 363 | 10  | 171 |
| 9  | 588 | 342 | 608 | 60  | 221 | 758 | 954 | 888 | ### | 146 | 690 | 949 | 843 | 430 | 620 | 748 | 67  | 536 | 783 | 35  | 226 | 185 | 38  | 853 | 629 | 224 | 748 | 923 | 359 | 257 | 766 | 944 | 955 |
| 10 | 317 | 213 | 109 | 28  | 200 | 80  | 318 | 858 | 50  | ### | 155 | 361 | 264 | 903 | 676 | 643 | 909 | 902 | 561 | 489 | 948 | 282 | 653 | 674 | 220 | 402 | 923 | 831 | 369 | 878 | 259 | 8   | 619 |
| 11 | 71  | 885 | 974 | 71  | 333 | 867 | 153 | 295 | 168 | 825 | ### | 676 | 629 | 650 | 598 | 309 | 693 | 686 | 80  | 116 | 249 | 667 | 528 | 679 | 864 | 421 | 405 | 826 | 816 | 516 | 726 | 666 | 87  |
| 12 | 37  | 925 | 647 | 458 | 602 | 807 | 98  | 830 | 292 | 600 | 278 | ### | 799 | 352 | 448 | 882 | 540 | 315 | 575 | 762 | 567 | 336 | 397 | 418 | 897 | 828 | 851 | 816 | 230 | 449 | 925 | 658 | 229 |
| 13 | 876 | 826 | 396 | 572 | 249 | 640 | 174 | 819 | 943 | 611 | 941 | 289 | ### | 419 | 565 | 805 | 585 | 216 | 450 | 615 | 609 | 64  | 166 | 893 | 74  | 509 | 300 | 695 | 573 | 589 | 161 | 172 | 968 |
| 14 | 583 | 948 | 723 | 982 | 18  | 776 | 220 | 111 | 182 | 856 | 490 | 925 | 324 | ### | 486 | 677 | 969 | 643 | 534 | 677 | 668 | 68  | 991 | 196 | 783 | 828 | 727 | 426 | 871 | 697 | 612 | 703 | 27  |
| 15 | 938 | 881 | 257 | 750 | 614 | 598 | 458 | 661 | 63  | 756 | 807 | 278 | 489 | 435 | ### | 365 | 75  | 586 | 386 | 833 | 360 | 330 | 48  | 928 | 492 | 433 | 840 | 766 | 735 | 810 | 599 | 837 | 892 |
| 16 | 826 | 276 | 790 | 582 | 578 | 159 | 418 | 489 | 159 | 449 | 924 | 72  | 380 | 8   | 967 | ### | 208 | 477 | 503 | 370 | 607 | 196 | 74  | 722 | 611 | 19  | 761 | 56  | 890 | 163 | 683 | 716 | 932 |
| 17 | 874 | 791 | 469 | 912 | 146 | 693 | 91  | 815 | 949 | 857 | 640 | 52  | 236 | 551 | 487 | 226 | ### | 162 | 955 | 183 | 394 | 180 | 97  | 65  | 65  | 513 | 261 | 578 | 78  | 878 | 140 | 611 | 947 |
| 18 | 643 | 888 | 153 | 232 | 747 | 680 | 926 | 678 | 450 | 801 | 961 | 199 | 855 | 363 | 716 | 573 | 561 | ### | 245 | 473 | 274 | 550 | 353 | 181 | 287 | 699 | 110 | 643 | 465 | 172 | 529 | 981 | 112 |
| 19 | 885 | 337 | 311 | 604 | 677 | 406 | 768 | 22  | 413 | 0   | 542 | 537 | 38  | 388 | 355 | 289 | 647 | 181 | ### | 93  | 584 | 987 | 761 | 493 | 217 | 501 | 482 | 447 | 665 | 753 | 104 | 84  | 95  |
| 20 | 400 | 707 | 955 | 666 | 141 | 588 | 481 | 168 | 315 | 396 | 225 | 9   | 12  | 136 | 455 | 762 | 43  | 742 | 21  | ### | 922 | 512 | 248 | 18  | 368 | 717 | 714 | 650 | 290 | 335 | 759 | 169 | 895 |
| 21 | 671 | 457 | 998 | 545 | 597 | 218 | 838 | 844 | 372 | 563 | 28  | 264 | 801 | 723 | 490 | 604 | 601 | 227 | 197 | 692 | ### | 771 | 363 | 301 | 363 | 721 | 565 | 421 | 445 | 610 | 495 | 741 | 22  |
| 22 | 125 | 118 | 737 | 28  | 119 | 577 | 737 | 91  | 556 | 795 | 60  | 901 | 793 | 432 | 136 | 580 | 875 | 907 | 184 | 74  | 719 | ### | 790 | 476 | 41  | 351 | 329 | 290 | 974 | 72  | 591 | 189 | 787 |
| 23 | 189 | 542 | 63  | 547 | 502 | 617 | 99  | 23  | 226 | 203 | 48  | 51  | 570 | 636 | 458 | 967 | 456 | 405 | 531 | 962 | 819 | 975 | ### | 556 | 531 | 495 | 44  | 591 | 803 | 388 | 915 | 450 | 319 |
| 24 | 149 | 730 | 244 | 844 | 49  | 118 | 65  | 363 | 552 | 773 | 470 | 731 | 747 | 511 | 869 | 398 | 498 | 103 | 352 | 679 | 53  | 43  | 522 | ### | 88  | 563 | 834 | 850 | 22  | 240 | 911 | 492 | 651 |
| 25 | 307 | 997 | 151 | 423 | 890 | 717 | 640 | 703 | 566 | 883 | 661 | 659 | 245 | 386 | 651 | 765 | 601 | 840 | 209 | 497 | 283 | 250 | 58  | 421 | ### | 175 | 581 | 787 | 271 | 287 | 999 | 504 | 979 |
| 26 | 731 | 154 | 861 | 434 | 385 | 967 | 816 | 393 | 704 | 866 | 953 | 308 | 223 | 684 | 792 | 667 | 48  | 469 | 930 | 811 | 814 | 90  | 427 | 743 | 604 | ### | 599 | 474 | 195 | 506 | 158 | 589 | 858 |
| 27 | 145 | 282 | 825 | 718 | 573 | 712 | 37  | 998 | 905 | 162 | 717 | 692 | 539 | 47  | 946 | 103 | 231 | 115 | 839 | 858 | 829 | 645 | 394 | 199 | 645 | 272 | ### | 675 | 862 | 72  | 773 | 480 | 238 |
| 28 | 274 | 133 | 885 | 38  | 170 | 862 | 629 | 84  | 909 | 878 | 923 | 85  | 400 | 24  | 193 | 105 | 412 | 765 | 767 | 407 | 677 | 784 | 704 | 790 | 834 | 891 | 621 | ### | 85  | 734 | 190 | 542 | 998 |
| 29 | 959 | 251 | 738 | 370 | 124 | 507 | 7   | 584 | 951 | 101 | 489 | 958 | 441 | 790 | 13  | 412 | 855 | 60  | 93  | 472 | 402 | 676 | 543 | 373 | 266 | 651 | 275 | 528 | ### | 532 | 761 | 469 | 503 |
| 30 | 722 | 842 | 7   | 463 | 260 | 947 | 793 | 630 | 717 | 43  | 376 | 314 | 626 | 117 | 334 | 620 | 171 | 792 | 964 | 154 | 866 | 693 | 664 | 775 | 0   | 212 | 100 | 551 | 476 | ### | 379 | 943 | 877 |
| 31 | 671 | 47  | 115 | 592 | 311 | 657 | 405 | 53  | 171 | 580 | 740 | 530 | 765 | 320 | 790 | 377 | 958 | 586 | 604 | 489 | 631 | 744 | 388 | 610 | 718 | 919 | 259 | 927 | 609 | 119 | ### | 479 | 716 |
| 32 | 292 | 237 | 530 | 613 | 296 | 710 | 389 | 628 | 809 | 786 | 744 | 840 | 182 | 569 | 120 | 393 | 292 | 962 | 214 | 527 | 807 | 194 | 705 | 713 | 11  | 913 | 693 | 664 | 203 | 995 | 762 | ### | 381 |
| 33 | 170 | 450 | 182 | 301 | 293 | 99  | 332 | 44  | 331 | 75  | 4   | 50  | 26  | 66  | 738 | 801 | 623 | 843 | 441 | 380 | 695 | 918 | 659 | 363 | 628 | 329 | 88  | 854 | 613 | 979 | 569 | 666 | ### |

Таблица II  
Верхне-средний квадрат таблицы исходных данных: строки от 1 до 33, столбцы от 34 до 66.

|    |     |     |     |     |     |     |     |     |     |     |     |     |     |     |     |     |     |     |     |     |     |     |     |     |     |     |     |     |     |     |     |     |     |
|----|-----|-----|-----|-----|-----|-----|-----|-----|-----|-----|-----|-----|-----|-----|-----|-----|-----|-----|-----|-----|-----|-----|-----|-----|-----|-----|-----|-----|-----|-----|-----|-----|-----|
|    | 34  | 35  | 36  | 37  | 38  | 39  | 40  | 41  | 42  | 43  | 44  | 45  | 46  | 47  | 48  | 49  | 50  | 51  | 52  | 53  | 54  | 55  | 56  | 57  | 58  | 59  | 60  | 61  | 62  | 63  | 64  | 65  | 66  |
| 1  | 771 | 538 | 869 | 912 | 667 | 299 | 35  | 894 | 703 | 811 | 322 | 333 | 673 | 664 | 141 | 711 | 253 | 868 | 547 | 644 | 662 | 757 | 37  | 859 | 723 | 741 | 529 | 778 | 316 | 35  | 190 | 842 | 288 |
| 2  | 350 | 150 | 941 | 724 | 966 | 430 | 107 | 191 | 7   | 337 | 457 | 287 | 753 | 383 | 945 | 909 | 209 | 758 | 221 | 588 | 422 | 946 | 506 | 30  | 413 | 168 | 900 | 591 | 762 | 655 | 410 | 359 | 624 |
| 3  | 580 | 796 | 798 | 281 | 589 | 798 | 9   | 157 | 472 | 622 | 538 | 292 | 38  | 179 | 190 | 657 | 958 | 191 | 815 | 888 | 156 | 511 | 202 | 634 | 272 | 55  | 328 | 646 | 362 | 886 | 875 | 433 | 869 |
| 4  | 297 | 416 | 286 | 105 | 488 | 282 | 455 | 734 | 114 | 701 | 316 | 671 | 786 | 263 | 313 | 355 | 185 | 53  | 912 | 808 | 832 | 945 | 313 | 756 | 321 | 558 | 646 | 982 | 481 | 144 | 196 | 222 | 129 |
| 5  | 725 | 31  | 492 | 142 | 222 | 286 | 64  | 900 | 187 | 360 | 413 | 974 | 270 | 170 | 235 | 833 | 711 | 760 | 896 | 667 | 285 | 550 | 140 | 694 | 695 | 624 | 19  | 125 | 576 | 694 | 658 | 302 | 371 |
| 6  | 958 | 578 | 365 | 7   | 477 | 200 | 58  | 439 | 303 | 760 | 357 | 324 | 477 | 108 | 113 | 887 | 801 | 850 | 460 | 628 | 370 | 405 | 540 | 111 | 704 | 835 | 356 | 72  | 350 | 823 | 485 | 556 |     |
| 7  | 556 | 993 | 176 | 705 | 962 | 548 | 881 | 300 | 413 | 641 | 855 | 855 | 142 | 462 | 611 | 877 | 424 | 678 | 752 | 443 | 296 | 673 | 40  | 313 | 875 | 72  | 818 | 610 | 17  | 932 | 112 | 695 | 169 |
| 8  | 489 | 240 | 164 | 542 | 619 | 913 | 591 | 704 | 818 | 232 | 750 | 205 | 975 | 539 | 303 | 422 | 98  | 247 | 584 | 648 | 971 | 864 | 913 | 75  | 545 | 712 | 546 | 678 | 769 | 262 | 519 | 985 | 289 |
| 9  | 318 | 726 | 411 | 25  | 355 | 1   | 549 | 496 | 584 | 515 | 964 | 342 | 75  | 913 | 142 | 196 | 948 | 72  | 426 | 606 | 173 | 429 | 404 | 705 | 626 | 812 | 375 | 93  | 565 | 36  | 736 | 141 | 814 |
| 10 | 971 | 3   | 945 | 781 | 504 | 392 | 685 | 313 | 698 | 589 | 722 | 938 | 37  | 410 | 461 | 234 | 508 | 961 | 959 | 493 | 515 | 269 | 937 | 869 | 58  | 700 | 971 | 264 | 117 | 215 | 555 | 815 | 330 |

Таблица III

Верхне-правый квадрат таблицы исходных данных: строки от 1 до 33, столбцы от 67 до 99.

|    |     |     |     |     |     |     |     |     |     |     |     |     |     |     |     |     |     |     |     |     |     |     |     |     |     |     |     |     |     |     |     |     |     |
|----|-----|-----|-----|-----|-----|-----|-----|-----|-----|-----|-----|-----|-----|-----|-----|-----|-----|-----|-----|-----|-----|-----|-----|-----|-----|-----|-----|-----|-----|-----|-----|-----|-----|
|    | 67  | 68  | 69  | 70  | 71  | 72  | 73  | 74  | 75  | 76  | 77  | 78  | 79  | 80  | 81  | 82  | 83  | 84  | 85  | 86  | 87  | 88  | 89  | 90  | 91  | 92  | 93  | 94  | 95  | 96  | 97  | 98  | 99  |
| 1  | 106 | 40  | 942 | 264 | 648 | 446 | 805 | 890 | 729 | 370 | 350 | 6   | 101 | 393 | 548 | 629 | 623 | 84  | 954 | 756 | 840 | 966 | 376 | 931 | 308 | 944 | 439 | 626 | 323 | 537 | 538 | 118 | 82  |
| 2  | 537 | 548 | 483 | 595 | 41  | 602 | 350 | 291 | 836 | 374 | 20  | 596 | 21  | 348 | 199 | 668 | 484 | 281 | 734 | 53  | 999 | 418 | 938 | 900 | 788 | 127 | 467 | 728 | 893 | 648 | 483 | 807 | 421 |
| 3  | 142 | 844 | 416 | 881 | 998 | 322 | 651 | 21  | 699 | 557 | 476 | 892 | 389 | 75  | 712 | 600 | 510 | 3   | 869 | 861 | 688 | 401 | 789 | 255 | 423 | 2   | 585 | 182 | 285 | 88  | 426 | 617 | 757 |
| 4  | 161 | 535 | 450 | 173 | 466 | 44  | 659 | 292 | 439 | 253 | 24  | 154 | 510 | 745 | 649 | 186 | 313 | 474 | 22  | 168 | 18  | 787 | 905 | 958 | 391 | 202 | 625 | 477 | 414 | 314 | 824 | 334 | 874 |
| 5  | 466 | 678 | 593 | 851 | 484 | 18  | 464 | 119 | 152 | 800 | 87  | 60  | 926 | 10  | 757 | 170 | 315 | 576 | 227 | 43  | 758 | 164 | 109 | 882 | 86  | 565 | 487 | 577 | 474 | 625 | 627 | 629 | 928 |
| 6  | 216 | 626 | 357 | 526 | 357 | 337 | 271 | 869 | 361 | 896 | 22  | 617 | 112 | 717 | 696 | 585 | 41  | 423 | 129 | 229 | 565 | 559 | 932 | 296 | 855 | 53  | 962 | 584 | 734 | 654 | 972 | 457 | 369 |
| 7  | 831 | 40  | 488 | 685 | 90  | 497 | 589 | 990 | 145 | 353 | 314 | 651 | 740 | 44  | 258 | 335 | 759 | 192 | 605 | 264 | 181 | 503 | 829 | 775 | 608 | 292 | 997 | 549 | 556 | 561 | 627 | 467 | 541 |
| 8  | 944 | 865 | 540 | 245 | 508 | 318 | 870 | 601 | 323 | 132 | 472 | 152 | 87  | 570 | 763 | 901 | 103 | 423 | 527 | 600 | 969 | 15  | 565 | 28  | 543 | 347 | 88  | 943 | 637 | 409 | 463 | 49  | 681 |
| 9  | 994 | 256 | 652 | 936 | 838 | 482 | 355 | 15  | 131 | 230 | 841 | 625 | 11  | 637 | 186 | 690 | 650 | 662 | 634 | 893 | 353 | 416 | 452 | 8   | 262 | 233 | 454 | 303 | 634 | 303 | 256 | 148 | 124 |
| 10 | 39  | 212 | 288 | 82  | 954 | 85  | 710 | 484 | 774 | 380 | 815 | 951 | 541 | 115 | 679 | 110 | 898 | 73  | 788 | 977 | 132 | 956 | 689 | 113 | 8   | 941 | 790 | 723 | 363 | 28  | 184 | 778 | 200 |
| 11 | 293 | 996 | 152 | 54  | 345 | 708 | 248 | 491 | 712 | 131 | 114 | 439 | 958 | 722 | 704 | 995 | 52  | 269 | 479 | 238 | 423 | 918 | 866 | 659 | 498 | 486 | 196 | 462 | 633 | 158 | 22  | 146 | 392 |
| 12 | 469 | 330 | 923 | 350 | 333 | 925 | 910 | 737 | 336 | 337 | 278 | 393 | 636 | 714 | 164 | 591 | 949 | 135 | 505 | 337 | 4   | 337 | 623 | 664 | 970 | 608 | 568 | 281 | 85  | 152 | 373 | 652 | 194 |
| 13 | 12  | 672 | 439 | 428 | 912 | 762 | 967 | 408 | 415 | 908 | 223 | 759 | 434 | 204 | 486 | 319 | 958 | 945 | 806 | 166 | 700 | 367 | 692 | 787 | 532 | 556 | 974 | 447 | 21  | 283 | 222 | 331 | 376 |
| 14 | 381 | 590 | 823 | 237 | 23  | 179 | 595 | 169 | 327 | 42  | 310 | 182 | 58  | 926 | 487 | 670 | 528 | 651 | 258 | 213 | 860 | 783 | 286 | 742 | 610 | 472 | 128 | 434 | 841 | 718 | 503 | 867 | 865 |
| 15 | 578 | 931 | 544 | 340 | 487 | 899 | 525 | 483 | 538 | 492 | 193 | 252 | 11  | 560 | 834 | 840 | 497 | 785 | 529 | 540 | 805 | 791 | 392 | 210 | 549 | 578 | 979 | 971 | 277 | 73  | 193 | 620 | 497 |
| 16 | 58  | 577 | 750 | 7   | 729 | 81  | 995 | 678 | 676 | 753 | 899 | 784 | 565 | 93  | 608 | 172 | 243 | 929 | 514 | 168 | 55  | 191 | 973 | 922 | 748 | 651 | 986 | 144 | 446 | 577 | 517 | 629 | 916 |
| 17 | 486 | 455 | 28  | 614 | 860 | 253 | 777 | 348 | 503 | 861 | 431 | 82  | 455 | 197 | 106 | 752 | 821 | 296 | 281 | 21  | 455 | 947 | 124 | 318 | 135 | 376 | 774 | 859 | 998 | 74  | 253 | 922 | 635 |
| 18 | 684 | 168 | 906 | 928 | 97  | 118 | 390 | 199 | 785 | 486 | 199 | 420 | 710 | 271 | 813 | 415 | 85  | 318 | 580 | 331 | 267 | 387 | 444 | 186 | 507 | 360 | 827 | 74  | 431 | 152 | 271 | 268 | 693 |
| 19 | 976 | 455 | 725 | 71  | 808 | 559 | 156 | 602 | 832 | 905 | 440 | 375 | 562 | 885 | 962 | 80  | 836 | 797 | 202 | 508 | 80  | 340 | 76  | 58  | 493 | 740 | 546 | 474 | 773 | 97  | 880 | 335 | 72  |
| 20 | 540 | 679 | 990 | 588 | 710 | 271 | 945 | 221 | 470 | 183 | 589 | 955 | 978 | 779 | 6   | 262 | 135 | 487 | 196 | 33  | 88  | 935 | 779 | 993 | 790 | 962 | 965 | 1   | 105 | 807 | 567 | 669 | 134 |
| 21 | 616 | 750 | 489 | 338 | 963 | 135 | 697 | 209 | 630 | 224 | 908 | 737 | 474 | 920 | 372 | 293 | 855 | 734 | 561 | 56  | 606 | 184 | 75  | 382 | 119 | 741 | 432 | 684 | 779 | 279 | 283 | 667 | 836 |
| 22 | 707 | 502 | 141 | 687 | 346 | 891 | 637 | 413 | 400 | 816 | 690 | 162 | 935 | 126 | 410 | 877 | 382 | 260 | 189 | 705 | 874 | 663 | 722 | 195 | 566 | 360 | 38  | 588 | 811 | 245 | 467 | 425 | 867 |
| 23 | 568 | 422 | 895 | 135 | 8   | 361 | 742 | 194 | 699 | 188 | 178 | 42  | 357 | 941 | 847 | 469 | 345 | 380 | 913 | 964 | 710 | 61  | 385 | 73  | 504 | 462 | 703 | 102 | 69  | 154 | 529 | 552 | 74  |
| 24 | 81  | 3   | 130 | 28  | 631 | 589 | 152 | 630 | 172 | 864 | 407 | 295 | 428 | 681 | 490 | 610 | 177 | 71  | 236 | 459 | 643 | 840 | 633 | 37  | 893 | 630 | 274 | 993 | 782 | 203 | 461 | 290 | 662 |
| 25 | 65  | 726 | 401 | 34  | 759 | 393 | 548 | 273 | 792 | 193 | 933 | 137 | 103 | 690 | 211 | 694 | 668 | 627 | 498 | 989 | 248 | 879 | 647 | 149 | 931 | 669 | 875 | 598 | 449 | 436 | 599 | 123 | 443 |
| 26 | 565 | 872 | 832 | 885 | 428 | 646 | 889 | 478 | 883 | 925 | 265 | 260 | 45  | 778 | 821 | 855 | 520 | 927 | 773 | 134 | 251 | 675 | 336 | 334 | 1   | 737 | 310 | 974 | 590 | 356 | 71  | 80  | 935 |
| 27 | 284 | 944 | 259 | 821 | 58  | 643 | 668 | 677 | 119 | 857 | 41  | 891 | 264 | 623 | 915 | 72  | 929 | 841 | 715 | 615 | 536 | 957 | 759 | 700 | 452 | 93  | 241 | 829 | 448 | 227 | 798 | 224 | 324 |
| 28 | 441 | 798 | 642 | 2   | 321 | 104 | 946 | 56  | 509 | 833 | 708 | 761 | 533 | 686 | 804 | 385 | 142 | 842 | 260 | 161 | 620 | 343 | 578 | 187 | 113 | 63  | 591 | 934 | 415 | 656 | 761 | 12  | 411 |
| 29 | 666 | 522 | 283 | 160 | 553 | 705 | 91  | 259 | 386 | 687 | 629 | 42  | 317 | 45  | 356 | 388 | 452 | 154 | 466 | 833 | 760 | 919 | 631 | 738 | 267 | 776 | 98  | 314 | 320 | 53  | 7   | 469 | 216 |
| 30 | 400 | 179 | 117 | 317 | 914 | 595 | 441 | 936 | 867 | 28  | 453 | 909 | 973 | 981 | 503 | 569 | 816 | 883 | 367 | 385 | 402 | 230 | 157 | 681 | 567 | 310 | 866 | 687 | 171 | 477 | 245 | 764 | 238 |
| 31 | 878 | 979 | 897 | 887 | 538 | 469 | 783 | 540 | 795 | 266 | 633 | 509 | 557 | 317 | 134 | 53  | 135 | 258 | 593 | 843 | 693 | 466 | 951 | 140 | 94  | 937 | 174 | 512 | 97  | 551 | 695 | 817 | 492 |
| 32 | 754 | 880 | 253 | 293 | 321 | 785 | 528 | 443 | 0   | 555 | 671 | 270 | 452 | 375 | 631 | 640 | 934 | 40  | 986 | 834 | 248 | 539 | 765 | 796 | 312 | 262 | 52  | 731 | 987 | 464 | 557 | 248 | 556 |
| 33 | 145 | 840 | 833 | 285 | 900 | 968 | 994 | 633 | 885 | 348 | 281 | 32  | 256 | 910 | 872 | 982 | 901 | 306 | 635 | 860 | 471 | 527 | 137 | 343 | 768 | 233 | 995 | 171 | 603 | 942 | 11  | 879 | 34  |

Таблица IV

Средне-левый квадрат таблицы исходных данных: строки от 34 до 66, столбцы от 1 до 33.

|    |     |     |     |     |     |     |     |     |     |     |     |     |     |     |     |     |     |     |     |     |     |     |     |     |     |     |     |     |     |     |     |     |     |
|----|-----|-----|-----|-----|-----|-----|-----|-----|-----|-----|-----|-----|-----|-----|-----|-----|-----|-----|-----|-----|-----|-----|-----|-----|-----|-----|-----|-----|-----|-----|-----|-----|-----|
|    | 1   | 2   | 3   | 4   | 5   | 6   | 7   | 8   | 9   | 10  | 11  | 12  | 13  | 14  | 15  | 16  | 17  | 18  | 19  | 20  | 21  | 22  | 23  | 24  | 25  | 26  | 27  | 28  | 29  | 30  | 31  | 32  | 33  |
| 34 | 512 | 593 | 530 | 161 | 234 | 258 | 926 | 906 | 191 | 443 | 188 | 227 | 719 | 484 | 224 | 93  | 435 | 224 | 94  | 582 | 867 | 627 | 5   | 146 | 686 | 589 | 540 | 237 | 850 | 759 | 578 | 956 | 677 |
| 35 | 293 | 117 | 717 | 403 | 943 | 893 | 639 | 11  | 925 | 28  | 978 | 748 | 850 | 892 | 444 | 654 | 623 | 353 | 36  | 547 | 346 | 826 | 61  | 904 | 238 | 571 | 886 | 405 | 299 | 56  | 728 | 267 | 751 |
| 36 | 484 | 943 | 495 | 811 | 293 | 892 | 798 | 990 | 299 | 890 | 493 | 74  | 549 | 774 | 314 | 173 | 69  | 218 | 865 | 833 | 238 | 911 | 252 | 463 | 508 | 149 | 88  | 245 | 231 | 920 | 106 | 271 | 368 |
| 37 | 85  | 652 | 751 | 397 | 751 | 1   | 435 | 693 | 72  | 916 | 716 | 328 | 511 | 125 | 838 | 296 | 939 | 544 | 56  | 826 | 902 | 758 | 588 | 21  | 586 | 108 | 777 | 628 | 979 | 947 | 549 | 280 | 245 |
| 38 | 968 | 710 | 968 | 708 | 641 | 732 | 437 | 684 | 499 | 701 | 869 | 583 | 256 | 692 | 640 | 87  | 12  | 810 | 820 | 835 | 663 | 615 | 897 | 677 | 774 | 134 | 553 | 533 | 878 | 286 | 624 | 734 | 75  |
| 39 | 712 | 896 | 909 | 841 | 130 | 90  | 34  | 915 | 286 | 523 | 666 | 344 | 736 | 37  | 416 | 893 | 949 | 971 | 844 | 777 | 285 | 200 | 590 | 285 | 328 | 118 | 668 | 6   | 729 | 8   | 541 | 225 | 536 |
| 40 | 200 | 643 | 856 | 61  | 647 | 939 | 808 | 290 | 452 | 979 | 618 | 419 | 7   | 284 | 547 | 977 | 675 | 613 | 709 | 371 | 642 | 339 | 336 | 621 | 501 | 34  | 129 | 358 | 436 | 469 | 897 | 504 | 798 |
| 41 | 15  | 974 | 252 | 846 | 956 | 524 | 966 | 581 | 144 | 240 | 334 | 296 | 876 | 27  | 205 | 18  | 291 | 641 | 465 | 191 | 471 | 259 | 700 | 217 | 16  | 943 | 624 | 64  | 505 | 157 | 502 | 666 | 275 |
| 42 | 345 | 883 | 865 | 696 | 833 | 390 | 632 | 189 | 839 | 183 | 817 | 129 | 753 | 679 | 613 | 600 | 252 | 145 | 861 | 151 | 318 | 963 | 813 | 907 | 554 | 476 | 617 | 211 | 429 | 264 | 966 | 531 | 942 |
| 43 | 681 | 879 | 108 | 207 | 259 | 706 | 849 | 75  | 26  | 124 | 607 | 774 | 884 | 128 | 546 |     |     |     |     |     |     |     |     |     |     |     |     |     |     |     |     |     |     |

Таблица V  
Средне-средний квадрат таблицы исходных данных: строки от 34 до 66, столбцы от 34 до 66.

|    |     |     |     |     |     |     |     |     |     |     |     |     |     |     |     |     |     |     |     |     |     |     |     |     |     |     |     |     |     |     |     |     |     |
|----|-----|-----|-----|-----|-----|-----|-----|-----|-----|-----|-----|-----|-----|-----|-----|-----|-----|-----|-----|-----|-----|-----|-----|-----|-----|-----|-----|-----|-----|-----|-----|-----|-----|
|    | 34  | 35  | 36  | 37  | 38  | 39  | 40  | 41  | 42  | 43  | 44  | 45  | 46  | 47  | 48  | 49  | 50  | 51  | 52  | 53  | 54  | 55  | 56  | 57  | 58  | 59  | 60  | 61  | 62  | 63  | 64  | 65  | 66  |
| 34 | ### | 403 | 42  | 300 | 811 | 225 | 143 | 595 | 16  | 615 | 804 | 6   | 368 | 641 | 335 | 698 | 325 | 313 | 23  | 312 | 618 | 457 | 396 | 339 | 86  | 94  | 846 | 43  | 522 | 911 | 280 | 455 | 358 |
| 35 | 19  | ### | 991 | 166 | 717 | 846 | 93  | 187 | 421 | 912 | 867 | 299 | 444 | 897 | 201 | 328 | 942 | 104 | 768 | 768 | 641 | 296 | 262 | 720 | 244 | 918 | 625 | 219 | 584 | 174 | 984 | 459 | 149 |
| 36 | 421 | 258 | ### | 157 | 647 | 982 | 238 | 122 | 723 | 906 | 706 | 189 | 156 | 345 | 351 | 923 | 118 | 550 | 97  | 836 | 591 | 406 | 510 | 813 | 651 | 880 | 844 | 743 | 741 | 245 | 578 | 949 | 705 |
| 37 | 128 | 62  | 426 | ### | 719 | 677 | 91  | 47  | 785 | 231 | 406 | 684 | 954 | 769 | 709 | 956 | 421 | 945 | 465 | 16  | 860 | 497 | 335 | 190 | 677 | 49  | 5   | 886 | 388 | 675 | 143 | 377 | 130 |
| 38 | 349 | 712 | 984 | 624 | ### | 792 | 504 | 822 | 55  | 913 | 462 | 473 | 84  | 160 | 122 | 53  | 397 | 822 | 750 | 337 | 917 | 6   | 931 | 197 | 505 | 236 | 357 | 599 | 290 | 898 | 985 | 447 | 84  |
| 39 | 980 | 716 | 470 | 384 | 747 | ### | 328 | 936 | 204 | 700 | 523 | 364 | 411 | 40  | 250 | 504 | 483 | 766 | 141 | 670 | 845 | 506 | 88  | 256 | 107 | 266 | 857 | 678 | 199 | 674 | 155 | 191 | 990 |
| 40 | 202 | 105 | 238 | 32  | 65  | 516 | ### | 481 | 579 | 23  | 727 | 771 | 313 | 382 | 140 | 816 | 488 | 319 | 589 | 513 | 259 | 851 | 271 | 283 | 364 | 38  | 12  | 184 | 759 | 501 | 574 | 733 | 59  |
| 41 | 46  | 632 | 789 | 46  | 145 | 3   | 152 | ### | 901 | 326 | 153 | 184 | 649 | 350 | 405 | 346 | 25  | 970 | 336 | 795 | 793 | 323 | 532 | 856 | 896 | 210 | 776 | 692 | 550 | 290 | 795 | 852 | 350 |
| 42 | 698 | 522 | 155 | 587 | 257 | 158 | 464 | 762 | ### | 510 | 946 | 65  | 380 | 165 | 946 | 540 | 297 | 42  | 464 | 194 | 584 | 270 | 715 | 200 | 206 | 106 | 302 | 696 | 833 | 611 | 67  | 415 | 645 |
| 43 | 736 | 555 | 633 | 954 | 930 | 252 | 904 | 279 | 488 | ### | 870 | 754 | 72  | 176 | 701 | 415 | 86  | 231 | 480 | 975 | 260 | 514 | 938 | 657 | 990 | 438 | 981 | 447 | 242 | 618 | 70  | 631 | 61  |
| 44 | 832 | 441 | 683 | 88  | 15  | 976 | 516 | 298 | 39  | 283 | ### | 205 | 997 | 146 | 769 | 675 | 917 | 387 | 20  | 30  | 442 | 735 | 389 | 373 | 480 | 73  | 777 | 786 | 381 | 785 | 522 | 345 | 979 |
| 45 | 364 | 85  | 665 | 908 | 340 | 360 | 814 | 154 | 12  | 752 | 338 | ### | 706 | 525 | 630 | 249 | 179 | 79  | 313 | 838 | 517 | 421 | 145 | 991 | 969 | 839 | 308 | 565 | 762 | 473 | 681 | 970 | 147 |
| 46 | 552 | 492 | 753 | 257 | 590 | 959 | 357 | 886 | 809 | 865 | 686 | 19  | ### | 259 | 313 | 435 | 28  | 101 | 468 | 869 | 456 | 731 | 578 | 74  | 395 | 843 | 274 | 316 | 24  | 511 | 585 | 722 | 971 |
| 47 | 147 | 156 | 134 | 360 | 751 | 208 | 478 | 294 | 589 | 524 | 976 | 694 | 90  | ### | 189 | 372 | 419 | 301 | 702 | 844 | 523 | 539 | 609 | 827 | 637 | 186 | 416 | 827 | 169 | 623 | 899 | 514 | 415 |
| 48 | 8   | 254 | 922 | 876 | 137 | 816 | 803 | 90  | 912 | 289 | 253 | 979 | 299 | 322 | ### | 902 | 602 | 369 | 654 | 729 | 734 | 438 | 274 | 226 | 463 | 134 | 972 | 348 | 453 | 503 | 307 | 518 | 333 |
| 49 | 47  | 405 | 290 | 569 | 959 | 628 | 139 | 228 | 580 | 471 | 778 | 440 | 456 | 148 | 444 | ### | 745 | 125 | 210 | 698 | 616 | 180 | 815 | 64  | 226 | 472 | 479 | 593 | 482 | 5   | 536 | 333 | 105 |
| 50 | 545 | 767 | 754 | 787 | 217 | 565 | 942 | 88  | 273 | 815 | 579 | 837 | 388 | 269 | 886 | 830 | ### | 809 | 640 | 321 | 319 | 881 | 626 | 20  | 411 | 454 | 893 | 984 | 357 | 999 | 336 | 829 | 950 |
| 51 | 252 | 718 | 35  | 285 | 428 | 678 | 960 | 101 | 949 | 364 | 385 | 626 | 157 | 737 | 841 | 938 | 593 | ### | 96  | 33  | 493 | 768 | 873 | 935 | 109 | 96  | 381 | 561 | 739 | 584 | 923 | 499 | 731 |
| 52 | 199 | 835 | 573 | 137 | 351 | 731 | 617 | 233 | 571 | 376 | 529 | 731 | 44  | 342 | 467 | 0   | 528 | 916 | ### | 634 | 999 | 757 | 240 | 581 | 623 | 941 | 131 | 749 | 539 | 299 | 575 | 99  | 363 |
| 53 | 666 | 250 | 670 | 145 | 925 | 148 | 874 | 774 | 43  | 429 | 536 | 763 | 16  | 858 | 934 | 301 | 61  | 655 | 815 | ### | 174 | 582 | 139 | 82  | 24  | 900 | 575 | 337 | 376 | 300 | 424 | 864 | 537 |
| 54 | 245 | 166 | 121 | 782 | 782 | 6   | 491 | 870 | 615 | 195 | 143 | 763 | 771 | 592 | 935 | 217 | 412 | 881 | 467 | 721 | ### | 952 | 322 | 828 | 230 | 429 | 424 | 699 | 153 | 151 | 794 | 41  | 264 |
| 55 | 447 | 846 | 271 | 182 | 344 | 142 | 448 | 636 | 353 | 549 | 888 | 823 | 825 | 251 | 190 | 639 | 46  | 362 | 775 | 624 | 78  | ### | 985 | 103 | 781 | 377 | 350 | 48  | 170 | 494 | 216 | 729 | 726 |
| 56 | 341 | 575 | 290 | 525 | 611 | 167 | 982 | 783 | 387 | 793 | 50  | 679 | 268 | 274 | 884 | 629 | 335 | 460 | 105 | 511 | 992 | 824 | ### | 550 | 16  | 60  | 801 | 759 | 309 | 923 | 67  | 300 | 225 |
| 57 | 466 | 116 | 856 | 180 | 429 | 537 | 629 | 389 | 843 | 4   | 101 | 384 | 920 | 987 | 136 | 52  | 582 | 528 | 366 | 472 | 193 | 958 | 179 | ### | 983 | 987 | 823 | 397 | 96  | 594 | 901 | 653 | 520 |
| 58 | 271 | 842 | 694 | 84  | 535 | 500 | 955 | 155 | 323 | 650 | 688 | 939 | 10  | 17  | 932 | 948 | 210 | 495 | 419 | 648 | 189 | 171 | 851 | 695 | ### | 223 | 637 | 649 | 800 | 407 | 134 | 884 | 177 |
| 59 | 147 | 503 | 511 | 174 | 819 | 107 | 205 | 599 | 788 | 261 | 45  | 435 | 492 | 732 | 76  | 667 | 403 | 367 | 899 | 54  | 167 | 212 | 114 | 129 | 793 | ### | 977 | 854 | 12  | 831 | 889 | 326 | 647 |
| 60 | 759 | 850 | 546 | 260 | 427 | 233 | 421 | 161 | 818 | 546 | 350 | 263 | 461 | 846 | 458 | 594 | 371 | 945 | 502 | 246 | 420 | 254 | 953 | 760 | 586 | 419 | ### | 735 | 616 | 113 | 335 | 592 | 18  |
| 61 | 537 | 598 | 77  | 398 | 851 | 888 | 463 | 53  | 505 | 741 | 267 | 662 | 655 | 81  | 695 | 618 | 872 | 94  | 670 | 538 | 121 | 445 | 523 | 243 | 365 | 718 | 135 | ### | 937 | 599 | 499 | 192 | 554 |
| 62 | 579 | 23  | 709 | 657 | 141 | 285 | 477 | 23  | 272 | 828 | 435 | 549 | 517 | 9   | 743 | 867 | 265 | 590 | 891 | 369 | 538 | 604 | 776 | 212 | 991 | 693 | 409 | 620 | ### | 197 | 662 | 128 | 100 |
| 63 | 924 | 652 | 37  | 35  | 699 | 316 | 890 | 367 | 606 | 221 | 975 | 520 | 792 | 565 | 547 | 258 | 684 | 531 | 829 | 782 | 705 | 162 | 689 | 923 | 870 | 342 | 282 | 196 | 180 | ### | 969 | 72  | 715 |
| 64 | 589 | 20  | 355 | 948 | 251 | 81  | 271 | 825 | 228 | 173 | 454 | 309 | 430 | 238 | 991 | 735 | 853 | 448 | 567 | 54  | 877 | 490 | 197 | 56  | 773 | 589 | 862 | 536 | 429 | 888 | ### | 539 | 585 |
| 65 | 540 | 368 | 282 | 848 | 366 | 290 | 227 | 458 | 71  | 106 | 305 | 1   | 434 | 770 | 555 | 507 | 299 | 730 | 75  | 803 | 439 | 194 | 488 | 664 | 673 | 48  | 358 | 280 | 487 | 764 | 713 | ### | 13  |
| 66 | 391 | 93  | 196 | 583 | 950 | 557 | 435 | 12  | 667 | 869 | 165 | 903 | 973 | 791 | 516 | 149 | 515 | 118 | 243 | 388 | 497 | 711 | 91  | 874 | 563 | 125 | 7   | 370 | 121 | 727 | 658 | 336 | ### |

Таблица VI  
Средне-правый квадрат таблицы исходных данных: строки от 34 до 66, столбцы от 67 до 99.

|    |     |     |     |     |     |     |     |     |     |     |     |       |     |     |     |     |     |     |     |     |     |     |     |     |     |     |     |     |     |     |     |     |     |
|----|-----|-----|-----|-----|-----|-----|-----|-----|-----|-----|-----|-------|-----|-----|-----|-----|-----|-----|-----|-----|-----|-----|-----|-----|-----|-----|-----|-----|-----|-----|-----|-----|-----|
|    | 67  | 68  | 69  | 70  | 71  | 72  | 73  | 74  | 75  | 76  | 77  | 78    | 79  | 80  | 81  | 82  | 83  | 84  | 85  | 86  | 87  | 88  | 89  | 90  | 91  | 92  | 93  | 94  | 95  | 96  | 97  | 98  | 99  |
| 34 | 847 | 870 | 990 | 873 | 327 | 413 | 454 | 896 | 472 | 450 | 241 | 641   | 646 | 525 | 213 | 824 | 929 | 695 | 403 | 594 | 993 | 67  | 187 | 640 | 79  | 41  | 125 | 534 | 860 | 0   | 907 | 621 | 692 |
| 35 | 14  | 695 | 503 | 32  | 851 | 537 | 814 | 363 | 651 | 219 | 290 | 917   | 683 | 918 | 584 | 252 | 586 | 269 | 248 | 137 | 397 | 424 | 168 | 27  | 148 | 993 | 382 | 271 | 669 | 893 | 877 | 14  | 104 |
| 36 | 514 | 785 | 227 | 624 | 204 | 356 | 917 | 227 | 555 | 102 | 286 | 468   | 698 | 979 | 411 | 489 | 758 | 490 | 775 | 410 | 132 | 89  | 296 | 950 | 112 | 122 | 529 | 672 | 836 | 277 | 553 | 976 | 670 |
| 37 | 487 | 555 | 482 | 253 | 0   | 754 | 289 | 488 | 215 | 8   | 310 | 940   | 799 | 997 | 707 | 454 | 304 | 237 | 485 | 499 | 792 | 613 | 612 | 682 | 983 | 351 | 129 | 137 | 33  | 600 | 864 | 683 | 857 |
| 38 | 592 | 725 | 996 | 855 | 828 | 338 | 342 | 428 | 795 | 742 | 37  | 506   | 767 | 53  | 793 | 505 | 146 | 609 | 924 | 854 | 465 | 239 | 206 | 209 | 492 | 499 | 175 | 36  | 61  | 647 | 618 | 13  | 727 |
| 39 | 832 | 858 | 996 | 917 | 290 | 967 | 707 | 234 | 246 | 462 | 402 | 239   | 426 | 95  | 906 | 314 | 350 | 586 | 279 | 776 | 822 | 879 | 301 | 812 | 676 | 164 | 357 | 570 | 38  | 312 | 144 | 561 | 180 |
| 40 | 714 | 649 | 595 | 522 | 541 | 416 | 377 | 52  | 565 | 891 | 138 | 310   | 967 | 55  | 787 | 224 | 222 | 439 | 441 | 648 | 804 | 834 | 368 | 441 | 872 | 668 | 974 | 176 | 137 | 633 | 241 | 745 | 18  |
| 41 | 315 | 36  | 361 | 760 | 984 | 729 | 534 | 50  | 82  | 806 | 936 | 584   | 790 | 617 | 182 | 66  | 116 | 388 | 425 | 101 | 610 | 450 | 982 | 621 | 193 | 38  | 754 | 593 | 895 | 280 | 638 | 167 | 420 |
| 42 | 175 | 354 | 448 | 919 | 79  | 988 | 321 | 592 | 597 | 197 | 509 | 652   | 71  | 658 | 122 | 859 | 997 | 999 | 899 | 120 | 320 | 36  | 984 | 912 | 915 | 953 | 485 | 741 | 199 | 567 | 208 | 844 | 169 |
| 43 | 219 | 781 | 990 | 833 | 672 | 563 | 302 | 502 | 928 | 721 | 898 | 447</ |     |     |     |     |     |     |     |     |     |     |     |     |     |     |     |     |     |     |     |     |     |

Таблица VII  
Нижне-левый квадрат таблицы исходных данных: строки от 67 до 99, столбцы от 1 до 33.

|    |     |     |     |     |     |     |     |     |     |     |     |     |     |     |     |     |     |     |     |     |     |     |     |     |     |     |     |     |     |     |     |     |     |
|----|-----|-----|-----|-----|-----|-----|-----|-----|-----|-----|-----|-----|-----|-----|-----|-----|-----|-----|-----|-----|-----|-----|-----|-----|-----|-----|-----|-----|-----|-----|-----|-----|-----|
|    | 1   | 2   | 3   | 4   | 5   | 6   | 7   | 8   | 9   | 10  | 11  | 12  | 13  | 14  | 15  | 16  | 17  | 18  | 19  | 20  | 21  | 22  | 23  | 24  | 25  | 26  | 27  | 28  | 29  | 30  | 31  | 32  | 33  |
| 67 | 865 | 554 | 700 | 302 | 714 | 629 | 794 | 26  | 463 | 528 | 748 | 679 | 351 | 199 | 3   | 442 | 280 | 16  | 290 | 98  | 858 | 730 | 553 | 551 | 262 | 444 | 649 | 485 | 55  | 572 | 889 | 858 | 552 |
| 68 | 320 | 188 | 821 | 264 | 3   | 754 | 722 | 316 | 854 | 586 | 425 | 524 | 818 | 302 | 120 | 659 | 488 | 682 | 341 | 574 | 500 | 566 | 222 | 754 | 552 | 850 | 516 | 226 | 486 | 602 | 737 | 901 | 901 |
| 69 | 912 | 141 | 209 | 450 | 180 | 569 | 535 | 562 | 365 | 111 | 817 | 11  | 763 | 321 | 606 | 345 | 443 | 850 | 593 | 664 | 442 | 444 | 833 | 736 | 502 | 25  | 559 | 953 | 7   | 6   | 543 | 129 | 751 |
| 70 | 164 | 58  | 511 | 383 | 846 | 943 | 737 | 831 | 655 | 251 | 351 | 290 | 52  | 295 | 420 | 61  | 360 | 767 | 273 | 34  | 133 | 191 | 301 | 378 | 387 | 879 | 500 | 615 | 709 | 72  | 61  | 952 | 970 |
| 71 | 162 | 685 | 115 | 321 | 502 | 541 | 804 | 573 | 733 | 452 | 811 | 229 | 224 | 159 | 983 | 665 | 845 | 950 | 826 | 591 | 897 | 213 | 371 | 986 | 662 | 190 | 584 | 906 | 418 | 622 | 719 | 666 | 218 |
| 72 | 638 | 80  | 620 | 545 | 929 | 168 | 141 | 762 | 834 | 633 | 270 | 82  | 0   | 560 | 364 | 141 | 99  | 336 | 665 | 833 | 29  | 827 | 254 | 28  | 319 | 984 | 110 | 168 | 417 | 397 | 125 | 406 | 410 |
| 73 | 139 | 898 | 973 | 638 | 815 | 2   | 41  | 485 | 63  | 211 | 66  | 827 | 583 | 930 | 565 | 82  | 982 | 831 | 235 | 290 | 812 | 256 | 802 | 448 | 513 | 126 | 497 | 64  | 215 | 293 | 907 | 437 | 418 |
| 74 | 304 | 990 | 843 | 557 | 857 | 319 | 875 | 149 | 190 | 946 | 798 | 467 | 346 | 509 | 80  | 479 | 981 | 207 | 719 | 138 | 425 | 699 | 770 | 14  | 510 | 355 | 232 | 765 | 618 | 720 | 237 | 264 | 709 |
| 75 | 552 | 874 | 977 | 697 | 370 | 941 | 267 | 341 | 617 | 968 | 65  | 321 | 655 | 727 | 914 | 283 | 137 | 932 | 549 | 162 | 882 | 35  | 592 | 135 | 930 | 534 | 520 | 728 | 688 | 724 | 634 | 233 | 603 |
| 76 | 297 | 433 | 140 | 622 | 545 | 540 | 727 | 250 | 82  | 247 | 99  | 50  | 730 | 396 | 304 | 331 | 805 | 51  | 82  | 139 | 767 | 370 | 676 | 143 | 556 | 973 | 116 | 957 | 286 | 366 | 433 | 843 | 672 |
| 77 | 472 | 670 | 161 | 15  | 825 | 729 | 494 | 37  | 195 | 830 | 549 | 300 | 701 | 794 | 561 | 303 | 992 | 959 | 948 | 206 | 613 | 969 | 639 | 455 | 561 | 651 | 410 | 677 | 576 | 539 | 222 | 502 | 224 |
| 78 | 833 | 574 | 688 | 884 | 668 | 468 | 425 | 204 | 844 | 921 | 960 | 911 | 922 | 951 | 700 | 342 | 630 | 425 | 430 | 451 | 720 | 198 | 527 | 480 | 405 | 382 | 425 | 614 | 612 | 204 | 192 | 9   | 938 |
| 79 | 401 | 796 | 172 | 109 | 731 | 987 | 670 | 525 | 184 | 802 | 727 | 746 | 688 | 352 | 197 | 989 | 895 | 398 | 951 | 18  | 373 | 257 | 719 | 873 | 915 | 68  | 883 | 610 | 859 | 125 | 596 | 839 | 583 |
| 80 | 847 | 14  | 914 | 212 | 507 | 622 | 327 | 492 | 320 | 999 | 898 | 271 | 386 | 192 | 552 | 217 | 524 | 988 | 693 | 89  | 688 | 414 | 296 | 268 | 346 | 358 | 737 | 745 | 568 | 797 | 825 | 647 | 221 |
| 81 | 773 | 894 | 419 | 526 | 883 | 533 | 782 | 512 | 436 | 825 | 52  | 812 | 24  | 845 | 296 | 202 | 773 | 758 | 305 | 677 | 358 | 111 | 281 | 650 | 570 | 880 | 253 | 327 | 359 | 716 | 797 | 118 | 718 |
| 82 | 591 | 28  | 661 | 612 | 696 | 876 | 100 | 958 | 171 | 191 | 248 | 122 | 698 | 550 | 758 | 728 | 145 | 742 | 438 | 860 | 473 | 477 | 493 | 695 | 404 | 213 | 32  | 525 | 904 | 295 | 221 | 848 | 168 |
| 83 | 477 | 714 | 846 | 475 | 82  | 831 | 839 | 619 | 169 | 647 | 362 | 406 | 560 | 752 | 905 | 561 | 720 | 380 | 441 | 550 | 339 | 738 | 124 | 951 | 5   | 940 | 989 | 625 | 482 | 104 | 653 | 380 | 430 |
| 84 | 592 | 413 | 808 | 52  | 41  | 791 | 576 | 924 | 657 | 708 | 946 | 958 | 632 | 263 | 627 | 831 | 441 | 679 | 637 | 100 | 637 | 909 | 750 | 654 | 540 | 597 | 827 | 979 | 46  | 139 | 838 | 81  | 898 |
| 85 | 93  | 444 | 809 | 507 | 40  | 523 | 222 | 647 | 150 | 225 | 262 | 382 | 969 | 740 | 1   | 855 | 305 | 526 | 287 | 863 | 979 | 966 | 478 | 345 | 209 | 886 | 906 | 720 | 643 | 606 | 442 | 361 | 983 |
| 86 | 133 | 511 | 976 | 305 | 665 | 206 | 98  | 418 | 619 | 791 | 24  | 467 | 850 | 934 | 495 | 975 | 75  | 694 | 787 | 465 | 762 | 639 | 508 | 460 | 682 | 586 | 495 | 122 | 935 | 948 | 559 | 119 | 138 |
| 87 | 807 | 809 | 330 | 91  | 111 | 544 | 344 | 75  | 689 | 205 | 756 | 724 | 217 | 856 | 48  | 760 | 280 | 650 | 88  | 966 | 67  | 778 | 173 | 843 | 48  | 932 | 576 | 763 | 598 | 335 | 616 | 857 | 980 |
| 88 | 834 | 101 | 205 | 900 | 732 | 456 | 636 | 210 | 917 | 593 | 477 | 792 | 910 | 990 | 408 | 775 | 889 | 69  | 391 | 139 | 835 | 306 | 39  | 173 | 69  | 573 | 444 | 827 | 195 | 336 | 395 | 102 | 316 |
| 89 | 92  | 693 | 199 | 32  | 849 | 873 | 343 | 933 | 444 | 856 | 486 | 25  | 364 | 0   | 332 | 22  | 145 | 53  | 709 | 895 | 747 | 508 | 319 | 634 | 136 | 123 | 244 | 982 | 490 | 375 | 546 | 439 | 48  |
| 90 | 978 | 306 | 624 | 115 | 473 | 160 | 678 | 336 | 719 | 608 | 188 | 782 | 321 | 616 | 223 | 712 | 186 | 170 | 766 | 42  | 268 | 458 | 876 | 662 | 946 | 981 | 753 | 704 | 838 | 597 | 322 | 595 | 911 |
| 91 | 32  | 223 | 787 | 178 | 739 | 503 | 137 | 890 | 463 | 177 | 801 | 203 | 913 | 830 | 314 | 99  | 998 | 103 | 598 | 117 | 790 | 868 | 374 | 692 | 448 | 106 | 184 | 848 | 926 | 567 | 235 | 407 | 977 |
| 92 | 734 | 452 | 275 | 541 | 925 | 201 | 855 | 304 | 378 | 391 | 433 | 260 | 725 | 826 | 125 | 690 | 189 | 707 | 935 | 847 | 719 | 883 | 614 | 428 | 313 | 48  | 26  | 640 | 727 | 709 | 466 | 565 | 965 |
| 93 | 469 | 924 | 386 | 972 | 802 | 652 | 471 | 580 | 925 | 380 | 708 | 599 | 137 | 867 | 728 | 812 | 831 | 684 | 293 | 658 | 140 | 887 | 688 | 77  | 559 | 959 | 530 | 630 | 676 | 140 | 638 | 391 | 860 |
| 94 | 872 | 578 | 289 | 772 | 693 | 658 | 999 | 478 | 366 | 610 | 642 | 995 | 567 | 577 | 854 | 454 | 992 | 602 | 226 | 994 | 45  | 374 | 548 | 883 | 444 | 881 | 975 | 670 | 847 | 318 | 98  | 967 | 594 |
| 95 | 380 | 585 | 702 | 73  | 653 | 594 | 227 | 388 | 954 | 802 | 866 | 168 | 147 | 371 | 137 | 633 | 312 | 862 | 320 | 101 | 555 | 685 | 86  | 117 | 741 | 763 | 648 | 932 | 667 | 953 | 146 | 213 | 594 |
| 96 | 585 | 529 | 584 | 447 | 868 | 939 | 999 | 615 | 522 | 242 | 712 | 707 | 631 | 848 | 454 | 971 | 490 | 209 | 458 | 925 | 727 | 868 | 964 | 555 | 905 | 289 | 207 | 355 | 396 | 323 | 341 | 49  | 634 |
| 97 | 415 | 741 | 56  | 609 | 19  | 827 | 862 | 248 | 779 | 343 | 731 | 751 | 251 | 96  | 498 | 979 | 138 | 306 | 991 | 321 | 417 | 781 | 451 | 469 | 286 | 277 | 142 | 541 | 355 | 435 | 658 | 799 | 961 |
| 98 | 143 | 916 | 28  | 661 | 790 | 424 | 741 | 447 | 347 | 719 | 81  | 382 | 489 | 105 | 403 | 749 | 390 | 991 | 168 | 545 | 317 | 345 | 167 | 270 | 538 | 986 | 925 | 202 | 182 | 95  | 628 | 255 | 396 |
| 99 | 354 | 942 | 643 | 500 | 150 | 866 | 209 | 534 | 398 | 500 | 182 | 916 | 685 | 693 | 253 | 924 | 621 | 248 | 111 | 275 | 43  | 103 | 623 | 116 | 723 | 285 | 203 | 712 | 117 | 84  | 469 | 807 | 966 |

Таблица VIII  
Нижне-средний квадрат таблицы исходных данных: строки от 67 до 99, столбцы от 34 до 66.

|    |     |     |     |     |     |     |     |     |     |     |     |     |     |     |     |     |     |     |     |       |     |     |     |     |     |     |     |     |     |     |     |     |     |
|----|-----|-----|-----|-----|-----|-----|-----|-----|-----|-----|-----|-----|-----|-----|-----|-----|-----|-----|-----|-------|-----|-----|-----|-----|-----|-----|-----|-----|-----|-----|-----|-----|-----|
|    | 34  | 35  | 36  | 37  | 38  | 39  | 40  | 41  | 42  | 43  | 44  | 45  | 46  | 47  | 48  | 49  | 50  | 51  | 52  | 53    | 54  | 55  | 56  | 57  | 58  | 59  | 60  | 61  | 62  | 63  | 64  | 65  | 66  |
| 67 | 129 | 640 | 860 | 46  | 627 | 44  | 422 | 936 | 473 | 154 | 333 | 756 | 51  | 391 | 534 | 931 | 322 | 79  | 202 | 176   | 580 | 269 | 388 | 429 | 885 | 2   | 610 | 327 | 274 | 760 | 99  | 42  | 55  |
| 68 | 749 | 967 | 102 | 265 | 881 | 843 | 710 | 508 | 489 | 858 | 184 | 121 | 106 | 586 | 987 | 371 | 490 | 972 | 518 | 73    | 353 | 281 | 662 | 996 | 213 | 451 | 115 | 804 | 785 | 333 | 564 | 504 | 837 |
| 69 | 70  | 395 | 228 | 541 | 59  | 220 | 715 | 944 | 178 | 658 | 384 | 738 | 383 | 638 | 737 | 635 | 30  | 782 | 315 | 80    | 21  | 425 | 752 | 204 | 446 | 412 | 4   | 45  | 825 | 244 | 549 | 994 | 529 |
| 70 | 823 | 64  | 537 | 50  | 610 | 791 | 978 | 443 | 161 | 821 | 718 | 298 | 183 | 933 | 695 | 709 | 72  | 468 | 703 | 864   | 845 | 849 | 50  | 646 | 142 | 444 | 155 | 459 | 768 | 885 | 301 | 768 | 847 |
| 71 | 991 | 959 | 566 | 103 | 279 | 498 | 867 | 345 | 103 | 430 | 20  | 25  | 534 | 821 | 833 | 235 | 287 | 393 | 827 | 348   | 624 | 692 | 918 | 800 | 244 | 431 | 86  | 695 | 508 | 753 | 597 | 192 | 121 |
| 72 | 463 | 48  | 690 | 969 | 344 | 599 | 643 | 155 | 464 | 537 | 558 | 206 | 911 | 414 | 947 | 293 | 129 | 587 | 80  | 85    | 764 | 234 | 76  | 15  | 118 | 384 | 847 | 648 | 547 | 555 | 832 | 781 | 837 |
| 73 | 338 | 424 | 70  | 183 | 345 | 328 | 59  | 483 | 221 | 537 | 560 | 349 | 923 | 883 | 905 | 847 | 313 | 786 | 984 | 409   | 234 | 500 | 970 | 839 | 157 | 668 | 856 | 485 | 592 | 22  | 733 | 735 | 383 |
| 74 | 703 | 544 | 50  | 541 | 301 | 344 | 427 | 141 | 910 | 696 | 824 | 683 | 980 | 131 | 570 | 754 | 535 | 903 | 445 | 609   | 414 | 32  | 917 | 130 | 318 | 432 | 413 | 90  | 461 | 132 | 635 | 517 |     |
| 75 | 125 | 122 | 782 | 760 | 65  | 930 | 264 | 423 | 322 | 486 | 908 | 638 | 631 | 565 | 426 | 362 | 563 | 378 | 419 | 851   | 741 | 315 | 76  | 168 | 521 | 98  | 587 | 531 | 239 | 339 | 552 | 830 | 474 |
| 76 | 814 | 298 | 471 | 937 | 261 | 809 | 920 | 586 | 327 | 441 | 53  | 323 | 528 | 491 | 597 | 99  | 881 | 823 | 310 | 671</ |     |     |     |     |     |     |     |     |     |     |     |     |     |

Таблица IX

Нижне-правый квадрат таблицы исходных данных: строки от 34 до 66, столбцы от 34 до 66.

|    |     |     |     |     |     |     |     |     |     |     |     |     |     |     |     |     |     |     |     |     |     |     |     |     |     |     |     |     |     |     |     |     |     |
|----|-----|-----|-----|-----|-----|-----|-----|-----|-----|-----|-----|-----|-----|-----|-----|-----|-----|-----|-----|-----|-----|-----|-----|-----|-----|-----|-----|-----|-----|-----|-----|-----|-----|
| 67 | 68  | 69  | 70  | 71  | 72  | 73  | 74  | 75  | 76  | 77  | 78  | 79  | 80  | 81  | 82  | 83  | 84  | 85  | 86  | 87  | 88  | 89  | 90  | 91  | 92  | 93  | 94  | 95  | 96  | 97  | 98  | 99  |     |
| 67 | ### | 393 | 65  | 928 | 572 | 284 | 726 | 798 | 523 | 201 | 587 | 88  | 997 | 652 | 175 | 750 | 678 | 455 | 893 | 630 | 406 | 531 | 489 | 165 | 521 | 127 | 964 | 440 | 113 | 389 | 710 | 488 | 763 |
| 68 | 453 | ### | 784 | 333 | 972 | 921 | 544 | 370 | 257 | 88  | 129 | 297 | 340 | 923 | 901 | 343 | 876 | 731 | 500 | 648 | 613 | 253 | 311 | 693 | 332 | 451 | 814 | 599 | 216 | 212 | 834 | 849 | 252 |
| 69 | 132 | 9   | ### | 316 | 429 | 761 | 133 | 930 | 746 | 532 | 283 | 873 | 439 | 880 | 835 | 987 | 570 | 589 | 629 | 560 | 521 | 597 | 189 | 163 | 444 | 621 | 705 | 815 | 713 | 334 | 999 | 137 | 615 |
| 70 | 606 | 187 | 535 | ### | 309 | 364 | 633 | 351 | 140 | 625 | 724 | 346 | 200 | 838 | 31  | 221 | 217 | 624 | 584 | 815 | 344 | 352 | 19  | 70  | 367 | 919 | 174 | 487 | 30  | 345 | 716 | 44  | 699 |
| 71 | 819 | 907 | 71  | 22  | ### | 561 | 991 | 52  | 251 | 523 | 965 | 956 | 980 | 61  | 465 | 523 | 300 | 828 | 235 | 953 | 612 | 682 | 876 | 157 | 289 | 292 | 199 | 776 | 461 | 842 | 131 | 660 | 700 |
| 72 | 427 | 896 | 859 | 324 | 799 | ### | 653 | 701 | 841 | 404 | 729 | 215 | 565 | 650 | 532 | 83  | 719 | 296 | 439 | 778 | 238 | 241 | 803 | 6   | 620 | 670 | 849 | 205 | 524 | 78  | 787 | 984 | 629 |
| 73 | 827 | 499 | 61  | 90  | 135 | 100 | ### | 479 | 573 | 906 | 885 | 245 | 209 | 836 | 981 | 939 | 699 | 101 | 407 | 195 | 219 | 84  | 427 | 355 | 560 | 133 | 452 | 800 | 603 | 688 | 398 | 875 | 569 |
| 74 | 645 | 321 | 818 | 805 | 333 | 721 | 246 | ### | 970 | 788 | 394 | 8   | 227 | 835 | 577 | 675 | 205 | 50  | 642 | 254 | 318 | 390 | 724 | 979 | 365 | 754 | 171 | 22  | 844 | 267 | 509 | 410 | 872 |
| 75 | 781 | 742 | 118 | 900 | 700 | 234 | 606 | 680 | ### | 790 | 923 | 399 | 168 | 485 | 634 | 455 | 544 | 444 | 708 | 800 | 219 | 518 | 349 | 947 | 580 | 299 | 448 | 684 | 119 | 132 | 340 | 888 | 770 |
| 76 | 377 | 519 | 83  | 966 | 805 | 794 | 646 | 324 | 441 | ### | 89  | 98  | 797 | 66  | 460 | 391 | 573 | 465 | 605 | 806 | 438 | 396 | 518 | 262 | 944 | 726 | 15  | 893 | 323 | 569 | 124 | 218 | 369 |
| 77 | 100 | 399 | 567 | 297 | 9   | 941 | 231 | 99  | 898 | 974 | ### | 387 | 759 | 262 | 145 | 729 | 659 | 324 | 767 | 966 | 968 | 927 | 94  | 849 | 796 | 542 | 923 | 396 | 417 | 411 | 368 | 48  | 781 |
| 78 | 621 | 277 | 278 | 80  | 434 | 711 | 229 | 853 | 930 | 408 | 730 | ### | 448 | 632 | 141 | 670 | 416 | 63  | 818 | 815 | 984 | 509 | 974 | 741 | 885 | 408 | 960 | 748 | 85  | 778 | 101 | 171 | 505 |
| 79 | 125 | 532 | 178 | 421 | 716 | 762 | 287 | 208 | 738 | 530 | 605 | 490 | ### | 799 | 569 | 407 | 253 | 413 | 656 | 785 | 583 | 348 | 593 | 799 | 362 | 606 | 666 | 735 | 219 | 671 | 664 | 599 | 608 |
| 80 | 519 | 868 | 174 | 901 | 361 | 255 | 966 | 927 | 313 | 362 | 780 | 818 | 728 | ### | 289 | 713 | 941 | 223 | 796 | 731 | 840 | 231 | 135 | 632 | 582 | 382 | 250 | 644 | 852 | 457 | 601 | 268 | 33  |
| 81 | 468 | 414 | 601 | 316 | 294 | 967 | 45  | 167 | 39  | 163 | 600 | 774 | 444 | 999 | ### | 525 | 80  | 217 | 824 | 449 | 86  | 674 | 257 | 185 | 215 | 58  | 275 | 230 | 582 | 211 | 37  | 270 | 962 |
| 82 | 999 | 151 | 643 | 538 | 782 | 454 | 887 | 12  | 912 | 922 | 837 | 174 | 91  | 808 | 718 | ### | 851 | 277 | 623 | 852 | 211 | 230 | 589 | 1   | 15  | 487 | 728 | 29  | 921 | 987 | 863 | 327 | 488 |
| 83 | 900 | 248 | 975 | 530 | 757 | 413 | 96  | 16  | 92  | 905 | 251 | 807 | 730 | 703 | 547 | 452 | ### | 255 | 684 | 535 | 594 | 146 | 790 | 36  | 47  | 505 | 607 | 278 | 958 | 281 | 746 | 299 | 422 |
| 84 | 463 | 913 | 431 | 286 | 360 | 166 | 449 | 122 | 260 | 883 | 173 | 966 | 706 | 946 | 474 | 708 | 346 | ### | 670 | 820 | 266 | 69  | 378 | 927 | 38  | 884 | 359 | 767 | 978 | 30  | 921 | 191 | 890 |
| 85 | 815 | 263 | 760 | 316 | 581 | 777 | 533 | 828 | 784 | 703 | 444 | 476 | 374 | 108 | 535 | 402 | 935 | 441 | ### | 786 | 393 | 320 | 414 | 944 | 857 | 912 | 304 | 496 | 691 | 706 | 826 | 216 | 583 |
| 86 | 127 | 780 | 431 | 380 | 183 | 347 | 723 | 81  | 63  | 544 | 249 | 426 | 440 | 662 | 291 | 29  | 698 | 598 | 978 | ### | 727 | 825 | 460 | 269 | 180 | 223 | 347 | 402 | 165 | 82  | 423 | 55  | 187 |
| 87 | 448 | 396 | 250 | 896 | 196 | 678 | 108 | 486 | 437 | 303 | 323 | 1   | 41  | 845 | 630 | 94  | 400 | 993 | 54  | 394 | ### | 204 | 542 | 124 | 569 | 581 | 643 | 827 | 201 | 502 | 23  | 38  | 561 |
| 88 | 470 | 610 | 605 | 709 | 971 | 471 | 242 | 332 | 842 | 420 | 225 | 881 | 718 | 588 | 351 | 252 | 857 | 865 | 975 | 430 | 351 | ### | 102 | 750 | 788 | 747 | 72  | 290 | 219 | 717 | 993 | 760 | 756 |
| 89 | 397 | 334 | 588 | 499 | 470 | 199 | 115 | 366 | 465 | 232 | 874 | 78  | 337 | 800 | 848 | 993 | 958 | 757 | 671 | 58  | 682 | 617 | ### | 65  | 706 | 820 | 312 | 204 | 602 | 197 | 136 | 643 | 116 |
| 90 | 206 | 401 | 435 | 546 | 959 | 576 | 811 | 708 | 90  | 164 | 597 | 725 | 107 | 883 | 415 | 377 | 94  | 380 | 355 | 168 | 934 | 383 | 611 | ### | 316 | 403 | 948 | 200 | 41  | 660 | 273 | 723 | 189 |
| 91 | 649 | 339 | 813 | 162 | 358 | 220 | 437 | 815 | 875 | 372 | 876 | 390 | 429 | 555 | 10  | 77  | 784 | 275 | 435 | 976 | 840 | 48  | 529 | 190 | ### | 633 | 367 | 637 | 323 | 445 | 3   | 994 | 86  |
| 92 | 119 | 219 | 627 | 88  | 461 | 295 | 652 | 643 | 90  | 747 | 965 | 124 | 284 | 525 | 953 | 792 | 110 | 197 | 497 | 805 | 112 | 856 | 256 | 730 | 231 | ### | 34  | 501 | 171 | 438 | 656 | 265 | 236 |
| 93 | 720 | 273 | 88  | 467 | 375 | 163 | 612 | 474 | 649 | 930 | 628 | 395 | 583 | 833 | 127 | 45  | 0   | 985 | 990 | 772 | 638 | 771 | 793 | 696 | 373 | 61  | ### | 908 | 716 | 300 | 739 | 827 | 497 |
| 94 | 23  | 260 | 764 | 117 | 467 | 770 | 919 | 855 | 297 | 727 | 665 | 300 | 888 | 969 | 813 | 398 | 244 | 359 | 850 | 456 | 605 | 810 | 428 | 913 | 420 | 882 | 32  | ### | 266 | 387 | 631 | 464 | 501 |
| 95 | 44  | 711 | 375 | 284 | 106 | 258 | 397 | 394 | 159 | 123 | 415 | 96  | 822 | 258 | 873 | 876 | 396 | 706 | 105 | 795 | 387 | 143 | 141 | 139 | 388 | 839 | 277 | 372 | ### | 752 | 396 | 682 | 771 |
| 96 | 984 | 647 | 655 | 371 | 502 | 100 | 761 | 717 | 965 | 539 | 501 | 423 | 815 | 409 | 53  | 2   | 431 | 585 | 89  | 807 | 944 | 535 | 264 | 812 | 627 | 984 | 755 | 95  | 885 | ### | 449 | 238 | 755 |
| 97 | 136 | 65  | 805 | 612 | 672 | 826 | 955 | 625 | 210 | 156 | 388 | 646 | 868 | 614 | 413 | 796 | 726 | 65  | 85  | 181 | 829 | 256 | 188 | 716 | 838 | 998 | 915 | 499 | 222 | 733 | ### | 468 | 629 |
| 98 | 274 | 835 | 828 | 914 | 958 | 899 | 427 | 592 | 921 | 340 | 89  | 536 | 43  | 493 | 146 | 21  | 828 | 94  | 218 | 802 | 943 | 496 | 27  | 217 | 85  | 403 | 672 | 776 | 685 | 711 | 66  | ### | 254 |
| 99 | 667 | 772 | 249 | 817 | 218 | 813 | 358 | 379 | 469 | 86  | 475 | 724 | 246 | 187 | 517 | 282 | 71  | 340 | 501 | 235 | 625 | 273 | 947 | 6   | 388 | 917 | 243 | 338 | 184 | 957 | 639 | 94  | ### |

```

1 bool Task::AddSubTask(SubTask* st, bool bSimple) {
2     // если bSimple==false, то идёт "более сложный" алгоритм вставки подзадачи; см. текст;
3     // в этом варианте всегда подзадачу добавляем (не теряем) = возврат всегда true
4     if (SolveSubTask(st)) return true; // при этом переполнение массива подзадач невозможно
5     int nNewGran = st->GetGran(); // граница только что решённой ("дорешённой") подзадачи
6     if (nNewGran >= nOpt) { delete st; return true; }
7     // обычное сравнение гранцы с текущим оптимумом
8     // далее будем добавлять рассматриваемую подзадачу в массив;
9     // при этом считаем, что последняя подзадача в массиве заведомо не приведёт к оптимуму
10    if (nKol>=NDimArrSub) {
11        delete Zadachi[NDimArrSub-1]; // удаляем последнюю подзадачу массива
12        nKol = NDimArrSub-1;
13    }
14    // далее с nNewGran не работаем; место неё nNewKolb, на основе нескольких предикторов
15    int nNewKolbas = st->GetKolbas();
16    int IndNew = 0; // индекс для вставки подзадач в массив
17    if (!bSimple) for (int i=0; i<nKol; i++) { // индекс IndNew, возможно, изменится
18        if (nNewKolbas <= Zadachi[i]->GetKolbas()) break;
19        IndNew = i+1;
20    }
21    for (int i=nKol; i>IndNew; i--) Zadachi[i] = Zadachi[i-1];
22    nKol++;
23    Zadachi[IndNew] = st;
24    return true;
25 }

```

Рис. 3. Метод Task::AddSubTask() – текущая версия.

```

1 void Task::Run() {
2     for (long long nnn=1; nnn<=NKolSteps; nnn++) {
3         SubTask* ST1 = ExtractFirst();
4         int I,J; if (!ST1->BestNull(I,J)) { cout << endl << "неожиданный конец"; break; }
5         SubTask* ST2 = ST1->MakeRight(I,J);
6         if (!AddSubTask(ST1, (ST1->GetDim()<=NTurbo)) || !AddSubTask(ST2,true))
7             cout << "не удалось сохранить подзадачу" << endl;
8         rez.NewIter(nKol);
9         // отметили, что прошла новая итерация с возможными новыми оптимумами
10        cout << *this << endl;
11        if (nKol>0) continue;
12        cout << rez;
13        cout << endl << "естественный конец решения" << endl; break;
14    }
15    cout << endl << "конец решения в связи с ограничением числа ветвлений" << endl;
16 }

```

Рис. 4. Метод Task::Run() – текущая версия.

```

1 SubTask* SubTask::MakeRight(int nXdel, int nYdel) {
2     // 1) сначала "на пустом месте" делаем правую
3     SubTask* Return = new SubTask(nDim-1);
4     Return->SetGran(nGran);
5     // 1a) установка №№ строк и столбцов
6     for (int i=1; i<=nDim; i++) {
7         if (i==nXdel) continue;
8         int iNew = i<nXdel ? i : i-1;
9         Return->Lin->Set(iNew, Lin->Get(i));
10    }
11    for (int j=1; j<=nDim; j++) {
12        if (j==nYdel) continue;
13        int jNew = j<nYdel ? j : j-1;
14        Return->Col->Set(jNew, Col->Get(j));
15    }
16    // 1b) установка самих значений
17    for (int i=1; i<=nDim; i++) {
18        if (i==nXdel) continue;
19        int iNew = i<nXdel ? i : i-1;
20        for (int j=1; j<=nDim; j++) {
21            if (j==nYdel) continue;
22            int jNew = j<nYdel ? j : j-1;
23            Return->Set(iNew, jNew, Get(i, j));
24        }
25    }
26    // 1c) установка старых путей
27    Return->Next->InitCopy(Next);
28    Return->Prev->InitCopy(Prev);
29    // 1d) установка в них нового движения
30    int III = Lin->Get(nXdel), JJJ = Col->Get(nYdel);
31    Return->Next->Set(III, JJJ);
32    Return->Prev->Set(JJJ, III);
33    // 1e) установка "обратных бесконечностей" (объединяем ниже со следующим пунктом)
34    // 1f) если не все поля Next'а заполнены, то установка "дальнейших обратных бесконечностей"
35    if (nDim>=3) { // т.е. обходим, если размерность подзадачи Return мала
36        int JJJJJ = JJJ;
37        for (;;) {
38            if (!Return->SetInfByNumbers(III, JJJJJ) break;
39            JJJJJ = Return->Next->Get(JJJJJ);
40            if (JJJJJ<=0) break;
41        }
42        int IIIII = III;
43        for (;;) {
44            if (!Return->SetInfByNumbers(IIIII, JJJ) break;
45            IIIII = Return->Prev->Get(IIIII);
46            if (IIIII<=0) break;
47        }
48    }
49    // 1g) редукция (здесь - полная)
50    Return->Reduction();
51    // 2) теперь "из себя" делаем левую подзадачу
52    Set(nXdel, nYdel, NInf);
53    ReductionLin(nXdel);
54    ReductionCol(nYdel);
55    // 3) конец работы функции
56    return Return;
57 }

```

Рис. 5. Метод SubTask::MakeRight() – текущая версия.

Таблица X  
Тур для псевдооптимального решения (равного 1681)  
для приведённой выше матрицы коммивояжёра

|    |    |    |    |    |    |    |    |    |    |    |
|----|----|----|----|----|----|----|----|----|----|----|
|    | 0  | 1  | 2  | 3  | 4  | 5  | 6  | 7  | 8  | 9  |
| 0  |    | 78 | 77 | 84 | 85 | 80 | 37 | 62 | 18 | 39 |
| 10 | 35 | 97 | 87 | 95 | 33 | 79 | 14 | 69 | 65 | 10 |
| 20 | 12 | 36 | 61 | 71 | 52 | 70 | 91 | 59 | 98 | 7  |
| 30 | 25 | 2  | 75 | 11 | 23 | 8  | 17 | 60 | 55 | 30 |
| 40 | 99 | 1  | 88 | 9  | 38 | 42 | 50 | 31 | 34 | 63 |
| 50 | 76 | 72 | 49 | 46 | 26 | 3  | 28 | 92 | 47 | 86 |
| 60 | 66 | 68 | 29 | 19 | 24 | 45 | 41 | 15 | 5  | 54 |
| 70 | 89 | 44 | 13 | 6  | 94 | 22 | 93 | 4  | 32 | 20 |
| 80 | 56 | 73 | 27 | 74 | 96 | 48 | 57 | 64 | 40 | 16 |
| 90 | 51 | 81 | 58 | 83 | 21 | 67 | 82 | 43 | 53 | 90 |

- далее в течение длительного времени работы работы МВГ (до примерно 97% от общего времени работы) это решение продолжает сохраняться в качестве текущего псевдооптимального;
- однако оптимальный ответ соответствует решению 1679; такое решение приведено в таблице XI<sup>16</sup>;

Таблица XI  
Тур для оптимального решения (равного 1679)  
для приведённой выше матрицы коммивояжёра

|    |    |    |    |    |    |    |    |    |    |    |
|----|----|----|----|----|----|----|----|----|----|----|
|    | 0  | 1  | 2  | 3  | 4  | 5  | 6  | 7  | 8  | 9  |
| 0  |    | 78 | 77 | 84 | 85 | 80 | 37 | 62 | 32 | 39 |
| 10 | 35 | 97 | 87 | 95 | 33 | 79 | 52 | 69 | 65 | 10 |
| 20 | 12 | 36 | 61 | 71 | 29 | 70 | 91 | 59 | 98 | 7  |
| 30 | 25 | 2  | 75 | 11 | 23 | 8  | 17 | 60 | 55 | 30 |
| 40 | 99 | 16 | 88 | 9  | 38 | 42 | 50 | 31 | 26 | 63 |
| 50 | 76 | 72 | 21 | 58 | 1  | 3  | 28 | 92 | 46 | 86 |
| 60 | 66 | 68 | 47 | 19 | 24 | 45 | 41 | 18 | 5  | 54 |
| 70 | 89 | 44 | 13 | 6  | 94 | 22 | 93 | 4  | 34 | 20 |
| 80 | 56 | 73 | 49 | 74 | 96 | 15 | 57 | 64 | 40 | 14 |
| 90 | 48 | 81 | 27 | 83 | 67 | 51 | 82 | 43 | 53 | 90 |

- как будет видно из приведённых далее результатов, даже при наличии только одного предиктора (т. е., немного упрощая ситуацию, «для старого варианта вычислений») подобные «плохие» исходные матрицы появляются весьма редко: в наших вычислениях не более чем в 2% случаев.

По-видимому, всё сказанное про приведённый частный случай ЗКВ косвенно свидетельствует о том, что при практически любых вариантах применения МВГ оптимальное решение «спрятано глубоко в левых подзадачах».

Но, конечно, существенно более интересны – а также более связаны с основным материалом статьи – вычисления, относящиеся к применению двух предикторов. Повторим, что мы получили *только первые удачные результаты* такого применения – но даже они свидетельствуют о том, что необходимо продолжать работу в этом направлении.

<sup>16</sup> Отметим, немного забегая вперёд, что примерно одинаковые временные результаты – аналогичные описанным здесь – были получены для обоих рассматривавшихся вариантов применения МВГ: с одним предиктором и с двумя.

При этом нужно отметить следующие два факта.

- Этот второй предиктор на самом деле тривиален: как и следовало ожидать, он является размерностью (под) задачи.
- Мы *пока* совершенно не проводили самообучения – рассмотрев для второго предиктора только эмпирически взятый коэффициент.

Поэтому, поскольку

- итоговые решения ЗКВ для рассматриваемой размерности 99 обычно получаются несколько более 1600,
- а «наиболее интересные вычисления» идут для подзадач, размерность которых примерно равна 50, – мы для примерного равенства этих показателей и заданного коэффициента 1.0 для основного предиктора выбрали для второго предиктора коэффициент 25.0.

Вычисления были организованы следующим образом. Выбирались:

- *размерность массива подзадач* (точнее – указателей на подзадачи): 100 000, 200 000 или 300 000 (при переполнении этого массива (под) задача «теряется» – но, поскольку она «худшая на данный момент», то мы считаем, что её «потеря» приведёт к потере оптимального решения с приемлемо малой вероятностью);
- *ограничение на общее число шагов (ветвлений)* метода ветвей и границ: 1 000 000, 2 000 000 или 3 000 000.

Для минимальной пары значений – 100 000 и 1 000 000 – мы, аналогично [33], [34] получили, что среднее время вычисления подзадачи на среднем современном компьютере<sup>17</sup> составляло около 30 – 40 минут – что существенно меньше приведённого в [34] медианного значения<sup>18</sup>.

Однако при достижении ограничения на число шагов и *неполучении* при этом оптимального решения (т. е. незавершении задачи) мы вычисления продолжали – всё-таки ограничивая *окончательное* общее число шагов (ветвлений) значением 10 000 000; это значение числа шагов в вычислениях ни разу достигнуто не было. Мы фиксировали случаи, когда после выбранного нами *предварительного* ограничения на число шагов впоследствии *было получено улучшение* решения задачи коммивояжёра; количества этих улучшений приведены в следующей таблице – которую можно назвать *основным результатом настоящей статьи*.

Таблица XII  
Число матриц (из 100 случайно сгенерированных), для которых *не было* получено оптимального решения (слева – 1 предиктор, справа – 2 предиктора). Подробности в тексте статьи.

|     |      |      |      |     |      |      |      |
|-----|------|------|------|-----|------|------|------|
|     | 1000 | 2000 | 3000 |     | 1000 | 2000 | 3000 |
| 100 | 2    | 2    | 2    | 100 | 2    | 2    | 2    |
| 200 | 2    | 2    | 1    | 200 | 2    | 2    | 0    |
| 300 | 2    | 1    | 1    | 300 | 1    | 0    | 0    |

Организация таблицы следующая.

<sup>17</sup> Intel(R) Core(TM) i7-8700 CPU @ 3.20 GHz.

<sup>18</sup> Там, однако, использовалось большее значение размерности массива подзадач.

- Левая часть таблицы XII относится к варианту с применением одного предиктора, правая – двух; при этом, как было сказано выше, в вычислениях значение второго предиктора шло с коэффициентом 25<sup>19</sup>.
- Все значения – пометки строк (размерность массива подзадач) и столбцов (ограничение на общее число шагов) приведены «в тысячах» (т. е. с коэффициентом 1 000, например, 2 000 означает 2 000 000).
- В клетках таблицы (конечно, без коэффициента) – число матриц (из 100 случайно сгенерированных, причём одинаковых для обоих вариантов вычисления), для которых после рассматриваемого числа шагов *не было* получено оптимального решения<sup>20</sup>.

Итак, даже для столь простого варианта применения двух предикторов и столь простой организации вычислений – мы для варианта с применением второго предиктора получили относительное улучшение работы алгоритма.

## V. КРАТКОЕ ОПИСАНИЕ ПРОГРАММ ДЛЯ ИСПОЛЬЗОВАННЫХ АЛГОРИТМОВ

Как было отмечено во введении, в этом разделе мы ориентируемся прежде всего на описание тех использованных подалгоритмов (вспомогательных алгоритмов), которые нужны именно для получения удачных результатов вычислений. Конкретно – мы привели выше, на рисунках 3–5, текущие варианты тех функций, которые подверглись изменениям по сравнению с вариантами, приведёнными в [34]. Однако сами пояснения (дополнительно к комментариям в текстах функций) мы приводим очень близко к [34]: иначе программы понять вряд ли возможно.

Перед описаниями трёх самых важных методов отметим, что заголовки содержащих их классов (класс-задачи `Task()` и класса-подзадачи `SubTask()`) полностью совпадают с приведёнными в [34]<sup>21</sup> – и поэтому мы здесь повторять их не будем.

Итак, во-первых – метод для добавления подзадачи в массив (рис. 3), `MakeRight()`. Здесь нужны такие комментарии.

- Решаемая задача передаётся «на указателе» первым параметром.
- В случае, когда после окончания работы метода нам рассматриваемая подзадача больше не нужна – мы её удаляем деструктором. А иначе – включаем её обратно в массив подзадач, т. е. соответствующий ей указатель «не пропадает». Таким образом, при любом варианте развития событий «дыр» в динамической памяти не будет.
- Рассматриваемый метод `AddSubTask()` возвращает `true` тогда и только тогда, когда после его выполнения не произошло переполнение массива подзадач (т. е. он завершился успешно). В частности, в случае

дорешивания подзадачи такого переполнения быть не может.

- Цикл, не выполняющийся в случае соответствующего ответа на проверку условия `if (!bSimple)` (значение `bSimple` передаётся вторым параметром метода) – возможно, самая важная эвристика, «относящаяся к первому (основному) предиктору»: как показывают вычислительные эксперименты, она существенно улучшает общее время решения по сравнению с [25]. Точнее, таковой является не сама эвристика, а её применение, зависящее от варианта вызова в методе `Run()` (который мы кратко рассмотрим далее).
- Практически такой же вариант работы (такой же предиктор) применяется и для построения ППЗ.

Во-вторых – основной метод класса-подзадачи («интерфейсный»), `Run()`, рис. 4. Именно в нём вызывается `MakeRight()`, после чего идёт обработка получившихся в результате подзадач. Отметим, что всегда равный значению `true` второй параметр при вызове функции обработки получившейся правой подзадачи отражает принятый нами вариант построения ППЗ.

В-третьих – самый важный метод; причём мы считаем, что он является самым важным не только для рассматриваемого класса-подзадачи `SubTask`, но и для всего описываемого проекта. Более того, можно сказать, что подобный метод – самый важный (ключевой) для всего подхода к реализации МВГ, т. е. для любой задачи дискретной оптимизации, а не только для ЗКВ.

Текст этого метода `MakeRight()` мало отличается от соответствующего из [34] – однако важные отличия всё-таки есть. Поэтому мы приводим модифицированный текст метода (рис. 5), повторяя с небольшими изменениями и добавлениями некоторые комментарии из предыдущей статьи.

- Параметры метода вычислены заранее – именно предиктором (или «линейной комбинацией» двух предикторов). Они указывают на применяемый разделяющий элемент.
- Возвращать построенную подзадачу будем по указателю `Return` – а поэтому для него сразу применяем оператор `new`.
- Пункт 1 – так в комментариях обозначено создание («рождение») правой подзадачи, он состоит из нескольких подпунктов – вспомогательных алгоритмов, которые в комментариях озаглавлены 1a, ..., 1f.
- Подпункты 1a, 1b и 1c, по-видимому, дополнительных комментариев не требуют.
- Подпункт 1d – это запись того, что в правой подзадаче становится обязательной поездка между выбранной парой городов. Но ведь города выбирались по номерам строк/столбцов текущей матрицы (также см. [34]) – поэтому в этом методе мы выбираем эти номера из соответствующих массивов (`Lin` и `Col`). Далее проставляем в массивах `Next` и `Prev` следующий город для номера `III` и предыдущий город для номера `JJJ`.
- Подпункт 1e – это вызов установки замены т. н. «серого нуля» ([9], [34]) на бесконечность.
- А подпункт 1f – это поиск таких возможных «серых нулей», которые получают как возможное замы-

<sup>19</sup> В связи с неприменением самообучения пока мы использовали целое значение; немного забегая вперёд отметим, что в приведённой компьютерной программе это значение вычисляется в методе `GetKolbas()`, причём этот метод относится к классу-подзадаче.

<sup>20</sup> Как можно понять из сказанного выше, мы условно считали, что для рассматриваемой размерности исходной задачи такое оптимальное решение должно обязательно получиться до достижения общего числа ветвлений (шагов МВГ), равного 10 000 000.

<sup>21</sup> По крайней мере, они полностью совпадают для интересующих нас методов.

кание «малых циклов» (вспомогательный алгоритм, кратко упомянутый в [9], но при этом отсутствовавший в [25]); впрочем, без этого вспомогательного алгоритма можно и обойтись – поскольку отсутствие подобных «малых циклов» автоматически проверяется и перед рассмотрением решения как допустимого и проверки его на псевдооптимальность, см. более подробное описание предыдущего варианта класса Task в [34].

- Подпункт 1g – редукция полученной правой подзадачи.
- Пункт 2 – окончательное оформление «себя» в качестве левой подзадачи (новой задачи); также в пункте 2 выполняется редукция полученной левой подзадачи по строке и столбце.

## VI. ЗАКЛЮЧЕНИЕ

Ещё раз повторим, что мы получили только первые удачные результаты применения нескольких предикторов – но даже такие результаты свидетельствуют о том, что необходимо продолжать работу в этом направлении. Вообще, настоящая статья предполагает несколько возможных вариантов продолжения – причём некоторые из описываемых в этом разделе вариантов уже были кратко упомянуты выше по тексту статьи.

- «Полностью теоретическое» продолжение, по-видимому, только одно<sup>22</sup>: как было сказано выше, в случае успеха процедуры нахождения оптимального Гамильтонова цикла мы получаем достаточное условие того, что в рассматриваемой нами модели все направления связи сети связи имеют резервный маршрут. Возможное строгое доказательство необходимости представляется важным предметом дальнейшего исследования.

В приведённом пункте было описано направление, связанное со строгим доказательством; а все остальные направления возможной дальнейшей работы (приведённые ниже) связаны с возможным применением *эвристик*, а также со *статистическими* исследованиями работы рассматриваемых алгоритмов – а не с их математическим обоснованием.

- Как было отмечено выше, для уже сгенерированного частного случая ЗКВ часто бывает интересно решить задачу, которую можно назвать «обратной»: определить, *при каком именно* конкретном значении  $\sigma$  некоторый заданный (рассматриваемый) частный случай ЗКВ *мог быть сгенерирован с наибольшей вероятностью*, при этом соответствующую процедуру нужно выполнить с помощью какого-либо из не связанных с генерацией входных данных алгоритма. Возможный (но не единственный) вариант – метод максимального правдоподобия, [14, гл. 9, § 4] и мн. др.
- Отдельным пунктом приведём *возможность применения* результатов, полученных при исследовании

пункта предыдущего. Это связано с применением разных алгоритмов для разных вариантов генерации входных данных – что можно найти в нескольких разных разделах главы 4 монографии [2]. Однако, конечно, исследования в этом направлении никогда не станут «завершёнными»: они свои для каждой новой рассматриваемой оптимизационной задачи.

- С двумя последними пунктами связана и такая задача. В настоящее время мы пока ещё не исследовали *адекватность модели*, связанной с использованием для генерации исходных данных псевдогеометрической версии некоторого конкретного значения  $\sigma$  – точнее сказать, её (модели) *адекватность для некоторой конкретной предметной области*. При этом понятно, что в первую очередь нас интересует такая адекватность для алгоритмов *генерации случайного графа*, описывающего некоторую сеть связи. Вероятно, здесь также можно применять метод максимального правдоподобия, но, конечно, возможны и другие варианты; некоторые из возможных подходов мы кратко описали в разделе с соответствующим названием («Возможный подход к генерации входных данных ...») статьи [8], а также полностью в [35].
- Мы в статье употребляли *только два* предиктора. Поэтому в будущих работах желательно:
  - применить какой-либо другой предиктор – новый, не описанный в настоящей статье;
  - рассмотреть ситуации, когда число предикторов превышает 2;
- Также повторим, что предметом статьи является *самый простой вариант* употребления предикторов. Эта «простота» заключается в том, что мы пока используем их не для собственно выбора разделяющего элемента (что можно было бы назвать «априорным» алгоритмом) – а для «апостериорного» размещения двух полученных подзадач в массиве подзадач; это, по-видимому, существенно проще. Поэтому в будущих работах желательно осуществить такой упомянутый кратко «априорный» подход.
- Для каждого варианта алгоритма, кратко описанного в двух последних пунктах (в частности, в подпунктах), – организовать дополнительно какое-либо *самообучение*.
- Рассмотреть возможности применения нескольких предикторов – причём, конечно, не только «апостериорного», но и «априорного» подходов – и в других задачах дискретной оптимизации.
- Кроме того, в будущем мы предполагаем продолжить работы, в которых на каждом шаге МВГ окончательный выбор разделяющего элемента происходит путём применения т.н. функций риска. А именно, сначала на шаге МВГ вместо того, чтобы сразу «найти лучший нуль» мы «ранжируем нули» – выбирая среди них *несколько* «лучших нулей». Уже потом среди них с помощью *каких-то других* эвристик мы выбираем единственный – который и станет разделяющим элементом на этом шаге МВГ. При этом здесь возможно применение:
  - классических алгоритмов многокритериальной оптимизации – [31], [32] и др.;
  - функций риска – [29], [30];

<sup>22</sup> Отметим, что при любом описании эвристических алгоритмов в качестве возможного продолжения такой работы *неявно* всегда предполагается желательность получения строгого доказательства уменьшения времени работы алгоритма (либо улучшения значений какой-либо другой важной целевой функции) при применении этих эвристик. Однако, как правило, подобные описания улучшений удаётся получить *только для статистических показателей* – о которых ниже.

– специальных эвристик, определяющих «похожесть» получаемой матрицы на некоторую расматривавшуюся ранее, – [27] и др.

### БЛАГОДАРНОСТИ

Работа первого автора была частично поддержана грантом научной программы китайских университетов “Higher Education Stability Support Program” (раздел “Shenzhen 2022 – Science, Technology and Innovation Commission of Shenzhen Municipality”) – 深圳市 2022 年高等院校稳定支持计划资助项目.

### Список литературы

- [1] Громкович Ю.: Теоретическая информатика. Введение в теорию автоматов, теорию вычислимости, теорию сложности, теорию алгоритмов, рандомизацию, теорию связи и криптографию. – СПб., БХВ-Петербург. – 2010. – 336 с.
- [2] Hromkovič J.: *Algorithmics for Hard Problems. Introduction to Combinatorial Optimization, Randomization, Approximation, and Heuristics.* – Berlin, Springer. – 2003. – 538 p.
- [3] Макаркин С.Б., Мельников Б.Ф.: Геометрические методы решения псевдогеометрической версии задачи коммивояжера // *Стохастическая оптимизация в информатике.* 2013. Т. 6, № 2. С. 54–72.
- [4] Макаркин С.Б., Мельников Б.Ф., Тренина М.А.: Применение проблемно-ориентированных метрик в геометрических алгоритмах решения псевдогеометрической версии задачи коммивояжера // *Стохастическая оптимизация в информатике.* 2014. Т. 10, № 1. С. 63–71.
- [5] Макаркин С.Б., Мельников Б.Ф., Тренина М.А.: Подход к решению псевдогеометрической версии задачи коммивояжера // *Известия высших учебных заведений. Поволжский регион. Физико-математические науки.* 2015. № 2(34). С. 135–147.
- [6] Мельников Б.Ф., Давыдова Е.В.: Математическое моделирование повышения уровня безопасности в случае отказов авиационной и космической техники // *International Journal of Open Information Technologies.* 2023. Vol. 6, No. 5. P. 1–6.
- [7] Гэри М., Джонсон Д.: *Вычислительные машины и труднорешаемые задачи.* – СПб., БХВ-Петербург. – 2010. – 336 с.
- [8] Мельников Б.Ф., Терентьева Ю.Ю., Чайковский Д.А.: О применении эвристических алгоритмов решения псевдогеометрической версии задачи коммивояжера для проектирования сетей связи // *Информатизация и связь.* 2023. № 4. С. 7–16.
- [9] Мельников Б.Ф., Мельникова Е.А.: О классической версии метода ветвей и границ // *Компьютерные инструменты в образовании.* 2021. № 1. С. 21–44.
- [10] Dorigo M., Gambardella L.M.: Ant colony system: A cooperative learning approach to the traveling salesman problem // *IEEE Transactions on Evolutionary Computation.* 1997. Vol. 1, No. 1. P. 53–66.
- [11] Gutin G., Punnen A. (editors): *The Traveling Salesman problem.* – Boston, Kluwer Academic Publishers. – 2008. – 856 p.
- [12] Rego C., Gamboa D., Glover F., Osterman C.: Traveling salesman problem heuristics: Leading methods, implementations and latest advances // *European Journal of Operational Research.* 2011. Vol. 211, No. 3. P. 427–441.
- [13] Cook W.: *In pursuit of the traveling salesman: Mathematics at the limits of computation.* – Princeton, Princeton University Press. – 2012. – 248 p.
- [14] Лагутин М.Б.: *Наглядная математическая статистика.* – М., Бином. Лаборатория знаний. – 2012. – 472 с.
- [15] Мельников Б.Ф., Сайфуллина Е.Ф., Терентьева Ю.Ю., Чурикова Н.П.: Применение алгоритмов генерации случайных графов для исследования надёжности сетей связи // *Информатизация и связь.* 2018. № 1. С. 71–80.
- [16] Бульнин А.Г., Мельников Б.Ф., Мещанин В.Ю., Терентьева Ю.Ю.: Оптимизационные задачи, возникающие при проектировании сетей связи высокой размерности, и некоторые эвристические методы их решения // *Информатизация и связь.* 2020. № 1. С. 34–40.
- [17] Мельников Б.Ф., Терентьева Ю.Ю.: Построение оптимального остова дерева как инструмент для обеспечения устойчивости сети связи // *Известия высших учебных заведений. Поволжский регион. Технические науки.* 2021. № 1(57). С. 36–45.
- [18] Бирюков А.А.: *Информационная безопасность: защита и нападение.* – М., ДМК Пресс. – 2013. – 472 с.
- [19] Попков Г.В.: К вопросу оценки устойчивости функционирования элементов сети связи // *Программные продукты и системы.* 2018. № 2. С. 316–320.
- [20] Попков Г.В., Овчинникова Е.А.: К вопросу применения сценарного подхода в формировании модели угроз информационной безопасности мультисервисных сетей связи // *Телекоммуникации.* 2022. № 9. С. 21–27.
- [21] Рассел С., Норвиг П.: *Искусственный интеллект. Современный подход.* – М., Вильямс. – 2015. – 1408 с.
- [22] Баумгертнер С.В., Мельников Б.Ф.: Мультиэвристический подход к проблеме звездно-высотной минимизации недетерминированных конечных автоматов // *Вестник Воронежского государственного университета. Серия: Системный анализ и информационные технологии.* 2010. № 1. С. 5–7.
- [23] Мельников Б.Ф., Эйрих С.Н.: Подход к комбинированию незавершенного метода ветвей и границ и алгоритма имитационной нормализации // *Вестник Воронежского государственного университета. Серия: Системный анализ и информационные технологии.* 2010. № 1. С. 35–38.
- [24] Сигал И.Х., Иванова А.П.: *Введение в прикладное дискретное программирование: модели и вычислительные алгоритмы.* – М., Физматлит. – 2003. – 240 с.
- [25] Гудман С., Хидетниemi С.: *Введение в разработку и анализ алгоритмов.* – М., Мир. – 1981. – 368 с.
- [26] Melnikov B.: *Discrete optimization problems – some new heuristic approaches* // In: *Proceedings – Eighth International Conference on High-Performance Computing in Asia-Pacific Region, Beijing.* 2005. P. 73–80.
- [27] Мельников Б.Ф.: Мультиэвристический подход к задачам дискретной оптимизации // *Кибернетика и системный анализ.* 2006. № 3. С. 32–40.
- [28] Melnikov B., Terentyeva Y.: An approach for obtaining estimation of stability of large communication network taking into account its dependent paths // *Cybernetics and Physics.* 2022. Vol. 11, No. 3. P. 145–150.
- [29] Мельников Б.Ф., Радионов А.Н.: О выборе стратегии в недетерминированных антагонистических играх // *Программирование (РАН).* 1998. № 5. С. 55–62.
- [30] Melnikov B.F.: *Heuristics in programming of nondeterministic games* // *Programming and Computer Software.* 2001. Vol. 27, No. 5. P. 277–288.
- [31] Березовский Б.А., Гнедин А.В.: *Задача наилучшего выбора.* – М., Наука. – 1984. – 198 с.
- [32] Подиновский В.В., Ногин В.Д.: *Парето-оптимальные решения многокритериальных задач.* – М., Физматлит. – 2007. – 256 с.
- [33] Мельников Б.Ф.: Об объектно-ориентированной реализации метода ветвей и границ для задачи коммивояжера. Часть I // *Современные информационные технологии и ИТ-образование.* 2022. Том 18, № 2. С. 287–299.
- [34] Мельников Б.Ф.: Об объектно-ориентированной реализации метода ветвей и границ для задачи коммивояжера. Часть II // *Современные информационные технологии и ИТ-образование.* 2022. Том 18, № 3. С. 644–654.
- [35] Мельников Б.Ф., Терентьева Ю.Ю.: О графовой модели для задач рефлектометрии и некоторых алгоритмах их решения. Часть III. Подход к генерации тестовых данных и результаты вычислительных экспериментов // *Известия высших учебных заведений. Поволжский регион. Физико-математические науки.* 2022. № 4(64). С. 31–41.

Борис Феликсович МЕЛЬНИКОВ,  
 профессор Университета МГУ–ППИ в Шэньчжэне  
 (<http://szmsubit.ru/>),  
 email: bormel@mail.ru,  
 email: bormel@smbu.edu.cn,  
 mathnet.ru: personid=27967,  
 elibrary.ru: authorid=15715,  
 scopus.com: authorId=55954040300,  
 ORCID: orcidID=0000-0002-6765-6800.

Юлия Юрьевна ТЕРЕНТЬЕВА,  
 начальник управления анализа и методологии  
 совершенствования информационных систем  
 Центра информационных технологий и систем  
 органов исполнительной власти им. А. В. Старовойтова  
 (<https://citis.ru/>),  
 email: terjul@mail.ru,  
 ORCID: orcidID=0000-0002-5328-1841.

# On the application a number of predictors in the branch and bound method (on the example of the random variant of the traveling salesman problem)

Boris Melnikov, Yulia Terentyeva

**Abstract**—For the so-called random variant of the traveling salesman problem, there are currently no fast algorithms, including heuristic ones, that give the optimal solution (or close to it); at least for the dimension of the problem exceeding 300. This fundamentally distinguishes the random variant from the so-called geometric variant of the same problem, for which the so-called onion husk algorithms have been known for at least 25 years, giving a close to optimal solution for any dimension. At the same time, the random variant of the traveling salesman problem, as well as the more general pseudo-geometric variant, often represents an acceptable model for applied problems of different classes; this statement can hardly be attributed to the geometric variant, therefore the algorithms for solving the random variant are still important.

Also, the relevance of the problem variant considered in the paper follows from its possible applicability in the formulation of options for calculating the so-called viability of the communication network, an integral indicator that is an average indicator of the viability estimates of all possible communication directions determined by a pair of vertices of the communication network graph. Usually, communication network developers strive to ensure that all directions have a backup route; it is assumed that we should check this, and such a check can be made using the algorithm for finding the optimal Hamiltonian cycle. So, it is necessary to be able to solve a random variant of the traveling salesman problem, and, first of all, to describe the so-called anytime algorithms for its solution.

For a random variant of the problem (and for both exact and anytime algorithms), the classical approach to its solution is relevant, associated with the use of the branch and bound method. We apply the usual description of this method, but with numerous changes and additions described in our previous publications, as well as in this paper. Apparently, to build successful specific variants of algorithms implementing this method, the most important is the auxiliary algorithm for selecting the separating element (and the last statement applies not only to the traveling salesman problem, but also to any problem solved using the branch and bound method). The auxiliary procedure for selecting a separating element is called a predictor.

In this paper, the authors propose a use case for selecting the separating element of an integral assessment using two simplest predictors; at the same time, such an option is easily generalized to the case of a larger number of predictors. The paper briefly describes the results obtained, confirming the improvement of the algorithm of the branch and bound method when using the two predictors under consideration.

**Keywords**—heuristic algorithms, branch and bound method, traveling salesman problem, variant of the problem, the random variant, predictors.

## References

- [1] *Introduction to Automata, Computability, Complexity, Algorithmics, Randomization, Communication, and Cryptography*. – Berlin, Springer. – 2004. – 318 p.
- [2] Hromkovič J.: *Algorithmics for Hard Problems. Introduction to Combinatorial Optimization, Randomization, Approximation, and Heuristics*. – Berlin, Springer. – 2003. – 538 p.
- [3] Makarkin S.B., Melnikov B.F.: Geometric methods for solving the pseudogeometric version of the traveling salesman problem // *Stochastic Optimization in Computer Science*. 2013. Vol. 6, No. 2. P. 54–72. (In Russian.)
- [4] Makarkin S.B., Melnikov B.F., Trenina M.A.: Application of problem-oriented metrics in geometric algorithms for solving the pseudogeometric version of the traveling salesman problem // *Stochastic Optimization in Computer Science*. 2014. Vol. 10, No. 1. P. 63–71. (In Russian.)
- [5] Makarkin S.B., Melnikov B.F., Trenina M.A.: An approach to solving the pseudogeometric version of the traveling salesman problem // *News of higher educational institutions. Volga region. Physical and mathematical sciences*. 2015. No. 2 (34). P. 135–147. (In Russian.)
- [6] Melnikov B.F., Давыдова Е.В.: Mathematical modeling of increasing the level of safety in case of failures of aviation and space technology // *International Journal of Open Information Technologies*. 2023. Vol. 6, No. 5. P. 1–6. (In Russian.)
- [7] Garey M., Johnson D. *Computers and Intractability. A Guide to the Theory of NP-Completeness*. – San Francisco, Freeman and Company. – 1979. – 338 p.
- [8] Melnikov B.F., Terentyeva Y.Y., Chaykovsky D.A.: On the application of heuristic algorithms for solving the pseudogeometric version of the traveling salesman problem for the design of communication networks // *Informatization and Communication*. 2023. No. 4. P. 7–16. (In Russian.)
- [9] Melnikov B.F., Melnikova E.A.: On the classical version of the branch and bound method // *Computer Tools in Education*. 2021. No. 1. P. 21–44. (In Russian.)
- [10] Dorigo M., Gambardella L.M.: Ant colony system: A cooperative learning approach to the traveling salesman problem // *IEEE Transactions on Evolutionary Computation*. 1997. Vol. 1, No. 1. P. 53–66.
- [11] Gutin G., Punnen A. (editors): *The Traveling Salesman problem*. – Boston, Kluwer Academic Publishers. – 2008. – 856 p.
- [12] Rego C., Gamboa D., Glover F., Osterman C.: Traveling salesman problem heuristics: Leading methods, implementations and latest advances // *European Journal of Operational Research*. 2011. Vol. 211, No. 3. P. 427–441.
- [13] Cook W.: *In pursuit of the traveling salesman: Mathematics at the limits of computation*. – Princeton, Princeton University Press. – 2012. – 248 p.
- [14] Lagutin M.B.: *Visual mathematical statistics*. – Moscow, Binom. Laboratory of Knowledge. – 2012. – 472 p. (In Russian.)
- [15] Melnikov B.F., Sayfullina E.F., Terentyeva Y.Y., Churikova N.P.: Application of random graph generation algorithms to study the reliability of communication networks // *Informatization and Communication*. 2018. No. 1. P. 71–80. (In Russian.)
- [16] Bulynin A.G., Melnikov B.F., Meshchanin V.Y., Terentyeva Y.Y.: Optimization problems arising in the design of high-dimensional communication networks and some heuristic methods for their solution // *Informatization and Communication*. 2020. No. 1. P. 34–40. (In Russian.)
- [17] Melnikov B.F., Terentyeva Y.Y.: Building an optimal spanning tree as a tool to ensure the stability of the communication network // *News of higher educational institutions. Volga region. Technical sciences*. 2021. No. 1 (57). P. 36–45. (In Russian.)
- [18] Biryukov A.A.: *Information security: defense and attack*. – Moscow,

- DMK Press. – 2013. – 472 p. (In Russian.)
- [19] Popkov G.V.: On the issue of assessing the stability of the functioning of the elements of the communication network // *Software Products and Systems*. (In Russian.) 2018. No. 2. P. 316–320.
- [20] Popkov G.V., Ovchinnikova E.A.: On the issue of using a scenario approach in the formation of a model of threats to information security of multiservice communication networks // *Telecommunications*. 2022. No. 9. P. 21–27. (In Russian.)
- [21] Russell S., Norvig P. *Artificial Intelligence: A Modern Approach*. Englewood Cliffs: Pearson Publ., 2009. 1152 p.
- [22] Baumgärtner S.V., Melnikov B.F.: A multiheuristic approach to the problem of the star-height minimization of nondeterministic finite automata // *Bulletin of the Voronezh State University. Series: System Analysis and Information Technology*. 2010. No. 1. P. 5–7. (In Russian.)
- [23] Melnikov B.F., Eirich S.N.: An approach to combining the incomplete branch and bound method and the simulated annealing algorithm // *Bulletin of the Voronezh State University. Series: System Analysis and Information Technology*. 2010. No. 1. P. 35–38. (In Russian.)
- [24] Sigal I.H., Ivanova A.P.: *Introduction to applied discrete programming: models and computational algorithms*. – Moscow, Fizmatlit. – 2003. – 240 p. (In Russian.)
- [25] Goodman S. E., Hedetniemi S. T. *Introduction to the design and analysis of algorithms*. N.Y.: McGraw-Hill Publ., 1977. 371 p.
- [26] Melnikov B.: *Discrete optimization problems – some new heuristic approaches* // In: *Proceedings – Eighth International Conference on High-Performance Computing in Asia-Pacific Region*, Beijing. 2005. P. 73–80.
- [27] Melnikov B.F.: Multiheuristic approach to discrete optimization problems // *Cybernetics and System Analysis*. 2006. No. 3. P. 32–40. (In Russian.)
- [28] Melnikov B., Terentyeva Y.: An approach for obtaining estimation of stability of large communication network taking into account its dependent paths // *Cybernetics and Physics*. 2022. Vol. 11, No. 3. P. 145–150.
- [29] Melnikov B.F., Radionov A.N.: On the choice of strategy in non-deterministic antagonistic games // *Programming (Russian Academy of Sciences Ed.)*. 1998. No. 5. P. 55–62. (In Russian.)
- [30] Melnikov B.F.: *Heuristics in programming of nondeterministic games* // *Programming and Computer Software*. 2001. Vol. 27, No. 5. P. 277–288.
- [31] Berezovsky B.A., Gnedin A.V.: *The task of the best choice*. – Moscow, Nauka. – 1984. – 198 p. (In Russian.)
- [32] Podinovskiy V.V., Nogin V.D.: *Pareto-optimal solutions to multi-criteria problems*. – Moscow, Fizmatlit. – 2007. – 256 p. (In Russian.)
- [33] Melnikov B.F.: On the object-oriented implementation of the branch and bound method for the traveling salesman problem. Part I // *Modern Information Technologies and IT Education*. 2022. Vol. 18, No. 2. P. 287–299. (In Russian.)
- [34] Melnikov B.F.: On the object-oriented implementation of the branch and bound method for the traveling salesman problem. Part II // *Modern Information Technologies and IT Education*. 2022. Vol. 18, No. 3. P. 644–654. (In Russian.)
- [35] Melnikov B.F., Terentyeva Y.Y.: On a graph model for reflectometry problems and some algorithms for their solution. Part III. Approach to test data generation and results of computational experiments // *News of higher educational institutions. Volga region. Physical and mathematical sciences*. 2022. No. 4(64). P. 31–41. (In Russian.)

**Boris MELNIKOV,**

Professor of Shenzhen MSU–BIT University, China

(<http://szmsubit.ru/>),

email<sub>1</sub>: [bormel@smbu.edu.cn](mailto:bormel@smbu.edu.cn),

email<sub>2</sub>: [bf-melnikov@yandex.ru](mailto:bf-melnikov@yandex.ru),

mathnet.ru: [personid=27967](https://mathnet.ru/personid=27967),

elibrary.ru: [authorid=15715](https://elibrary.ru/authorid=15715),

scopus.com: [authorId=55954040300](https://scopus.com/authorId=55954040300),

ORCID: [orcidID=0000-0002-6765-6800](https://orcid.org/0000-0002-6765-6800).

**Yulia TERYENTYEVA,**

Head of the Department of Analysis and Methodology

of Information Systems Improvement

of The Center for Information Technologies and Systems

of Executive Authorities named after A. V. Starovoytov

(<https://citis.ru/>),

email: [terjul@mail.ru](mailto:terjul@mail.ru),

ORCID: [orcidID=0000-0002-5328-1841](https://orcid.org/0000-0002-5328-1841).